

**SURVEY PASIR BESI DENGAN METODE GEOLISTRIK DI
PANTAI MARINA KABUPATEN BANTAENG**



SKRIPSI

*Diajukan untuk Memenuhi Salah Satu Syarat Meraih Gelar
Sarjana Sains Jurusan Fisika pada Fakultas Sains dan Teknologi
Universitas Islam Negeri (UIN) Alauddin Makassar*

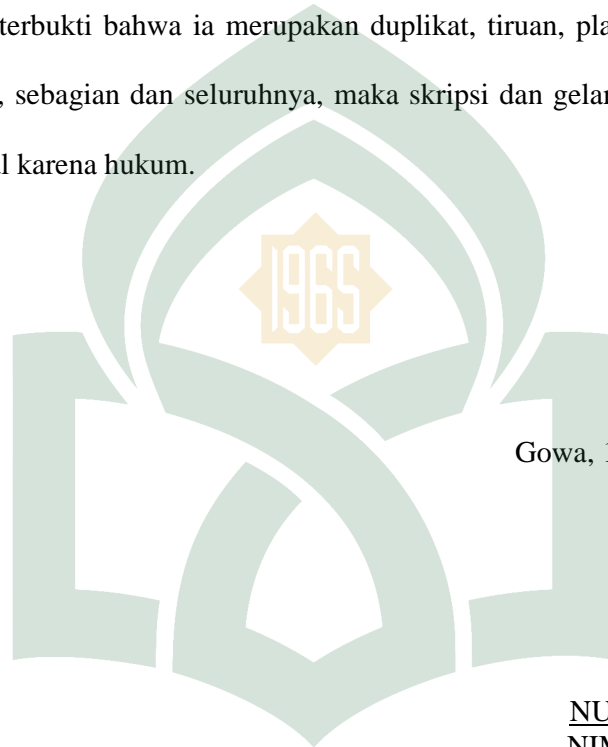
OLEH:

NURHIDAYAT
NIM : 60400112014

**FAKULTAS SAINS DAN TEKNOLOGI
UNIVERSITAS ISLAM NEGERI ALAUDDIN MAKASSAR
2016**

PERNYATAAN KEASLIAN SKRIPSI

Dengan penuh kesadaran, penyusun yang bertanda tangan di bawah ini menyatakan bahwa skripsi ini benar adalah hasil karya penyusun sendiri. Jika kemudian hari terbukti bahwa ia merupakan duplikat, tiruan, plagiat atau dibuat oleh orang lain, sebagian dan seluruhnya, maka skripsi dan gelar yang diperoleh dinyatakan batal karena hukum.



Gowa, 19 Agustus 2016

Penyusun

NURHIDAYAT
NIM. 60400112014

UNIVERSITAS ISLAM NEGERI
ALAUDDIN
M A K A S S A R

KATA PENGANTAR

بِسْمِ اللَّهِ الرَّحْمَنِ الرَّحِيمِ

Syukur alhamdulillah penulis panjatkan kehadiran Allah Swt., yang masih memberikan kepada penulis berupa kesehatan jasmaniah dan rohaniyah serta masih memberikan iman dan ihsan. Shalawat dan salam kita panjatkan keharibaan Nabi Besar Muhammad Saw, yang membawa kita semua dari alam kegelapan kepada alam yang terang benderang, sehingga penyusunan skripsi yang berjudul **“Identifikasi Pasir Besi dengan Metode Geolistrik di Sepanjang Pantai Marina Kabupaten Bantaeng”** ini dapat dirampungkan.

Pada kesempatan ini, penulis menghaturkn sembah sujud dan rasa hormat kepada kedua orang tuaku **H. Tasimug** dan **Hj. Hasnawati**. Terimakasih karena telah memberikan kasih sayang yang tiada henti memberikan kasih sayang dan cintanya serta doa-doanya untuk keberhasilan penulis.

Selama penyusunan skripsi ini banyak hambatan yang penulis hadapi, namun semuanya dapat dilewati berkat pertolongan dari Allah Swt., Serta bantuan berbagai pihak, baik secara langsung maupun tak langsung yang selalu memberikan doa dan material, sebagai motivasi bagi penulis yang sangat berarti bagi penulis dengan rasa penuh keiklasan dan tulus, mengucapkan terimakasih setinggi-tingginya kepada:

1. Bapak **Prof. Dr. Musafir Pabbari, M.Si** selaku Rektor Universitas Islam Negeri (UIN) AIAUDDIN Makassar periode 2015-2016.
2. Bapak **Prof. Dr. H. Arifuddin, M.Ag** selaku Dekan Fakultas Sains Teknologi Universitas Islam Negeri (UIN) Alauddin Makassar.

3. Ibu **Sahara, S.Si., M.Sc, Ph. D** selaku ketua jurusan dan selaku penguji **II** dan bapak **Ihsan, S.Pd., M.Si** selaku sekretaris jurusan Fakultas Sains dan Teknologi Universitas Islam Negeri (UIN) Alauddin Makassar.
4. Ibu **Rahmaniah S.Si., M.Si** selaku pembimbing **I** dan **Iswadi, S.Pd., M.Si** selaku pembimbing **II** yang telah meluangkan waktu dan pikiran untuk bimbingan dan arahnya.
5. Bapak **Muh. Said L,S.Si., M.Pd** selaku penguji I dan bapak **Dr. Hasyim Haddade, M. Ag** selaku penguji **III** atas semua bimbingan serta nasehat yang diberikan.
6. Segenap bapak dan ibu dosen pengajar jurusan Fisika Fakultas Sains dan Teknologi yang telah membekali pengetahuan, bimbingan dan arahan selama ini.
7. Ayahanda **H.Tasimung** dan Ibunda **Hj. Hasnawati** terimakasih untuk kasih dan doanya, kalian adalah penyemangat utama saya. Terimakasih, terimakasih dan terimakasih untuk orang tua saya tercinta.
8. Saudara-saudaraku tersayang **Amirullah, Tashuri** dan **Amiruddin** yang sudah memberikan semangat, kasih sayang dan nasehat yang diberikan selama menyelesaikan skripsi ini.
9. Keluarga besar dari ayah dan ibu terimakasih untuk doa, semangat yang diberikan.
10. Sahabatku tercinta TST (**Indah Permatasari, Susilastuti, Husnul khatimah, Sri Nurahmani desi, Muldatulnia, A. Ulfayanti, Asriyati**) dan **Indo upe**

yang sudah mengisi hari-hariku dan memberikan bantuan dalam menyelesaikan skripsi ini.

11. Terima kasih **Muh. Taslim** dan keluarga sudah menemani penulis selama 4 tahun yang senantiasa memberi motivasi, dukungan, bantuan serta doa.
12. Terima kasih untuk asisten penelitianku **Kakak Rahmat, Asraf, Zul, Iqbal, Kakak Dayat dan Sudar**
13. Terima kasih untuk tim pasir besiku **Susilastuti, Nurhidayah, Indah permatasari, dan Juharni.**
14. Terima kasih untuk **Bapak Muktar ST** dan **Bapak Munim ST** yang sudah mengajari membaja alquran dengan baik dan selalu memberi nasehat agamawis.
15. Sahabat geolistrik yang selalu membagi ilmunya dengan penulis **Kaharuddin dan Arif Rahman.**
16. Sahabat **Muh. Akbar** dan **Ahdiatul Muqadas** yang senantiasa membantu saya dalam penelitian.
17. Teman-teman KKN **Arham, Zain, Irsal, Sukma, Ayu dan Fia**
18. Teman-teman Radiasi angkatan 2012 terima kasih atas kisah selama 4 tahun ini.
19. Adinda-adinda Jurusan fisika angkatan 2013, 2014, 2015 dan 2016 serta keluarga besar Himpunan Jurusan Fisika (HMJ-F).
20. Kepada semua pihak yang tidak sempat penulis tuliskan satu persatu dan telah memberikan kontribusi secara langsung maupun tidak langsung dalam

penyelesaian studi, penulis mengucapkan banyak terima kasih atas bantuannya.

Akhirnya sebagai usaha manusiawi, penulis menyadari sepenuhnya tugas akhir ini masih jauh dari kesempurnaan, sehingga penulis dengan senang hati membuka diri untuk menerima segala kritikan dan saran yang bersifat membangun guna memberikan kontribusi untuk perkembangan ilmu pengetahuan serta bermanfaat bagi masyarakat luas, para pembaca dan khususnya bagi pribadi penulis. Semoga segala kerja keras dan doa dari segala pihak mendapat balasan dari sang pencipta “Amin Ya Rabbal Alamin”

Samata, 19 Agustus 2016
Penyusun

NURHIDAYAT
NIM: 60400112014

UNIVERSITAS ISLAM NEGERI
ALAUDDIN
M A K A S S A R

DAFTAR ISI

HALAMAN JUDUL	i
PERNYATAAN KEASLIAN SKRIPSI.....	ii
LEMBAR PENGESAHAN.....	iii
KATA PENGANTAR	iv
DAFTAR ISI	viii
DAFTAR TABEL.....	x
DAFTAR SIMBOL.....	xi
DAFTAR GAMBAR.....	xii
DAFTAR LAMPIRAN.....	xiv
ABSTRAK.....	xv
ABSTRACT.....	xvi
BAB I. PENDAHULUAN.....	1
1.1 Latar Belakang	1
1.2 Rumusan Masalah.....	3
1.3 Tujuan Penelitian.....	3
1.4 Ruang Lingkup Penelitian.....	4
1.5 Manfaat Penelitian.....	4
BAB II. TINJAUAN TEORETIS.....	5
2.1 Pasir Besi.....	5
2.2 Metode Geolistrik Resistivitas.....	11
2.3 Konfigurasi <i>Schlumberger</i>	14

2.4 Sifat Kelistrikan Batuan.....	25
2.5 Alat resistivimeter.....	30
2.6 Software IP2WIN.....	34
BAB III. METODE PENELITIAN.....	35
3.1 Waktu dan Lokasi Penelitian.....	35
3.2 Alat dan Bahan.....	35
3.3 Prosedur Penelitian.....	36
3.4. Teknik Analisis Data.....	40
3.5 Diagram Alir.....	41
3.6 Jadwal Penelitian.....	42
BAB IV. HASIL DAN PEMBAHASAN.....	43
BAB V. PENUTUP.....	58
5.1 Kesimpulan.....	58
5.2 Saran.....	59
DAFTAR PUSTAKA.....	60
DAFTAR LAMPIRAN.....	62



ALAUDDIN
M A K A S S A R

DAFTAR TABEL

No	Keterangan Tabel	Halaman
2.1	Komposisi kimia dari pasir besi	10
3.1	Tabel pengambilan data di lapangan	39
3.2	Tabel pengolahan data dengan Ms. Office Excel	39
3.3	Rencana kegiatan pelaksanaan penelitian	42
4.1	Informasi perlapisan di titik <i>sounding</i> 1	46
4.2	Informasi perlapisan di titik <i>sounding</i> 2	48
4.3	Informasi perlapisan di titik <i>sounding</i> 3	49
4.4	Informasi perlapisan di titik <i>sounding</i> 4	51
4.5	Informasi perlapisan di titik <i>sounding</i> 5	52
4.6	Informasi perlapisan di titik <i>sounding</i> 6	53
4.7	Informasi perlapisan gabungan titik <i>sounding</i> 1, 2 dan 3	55
4.8	Informasi perlapisan gabungan titik <i>sounding</i> 4, 5 dan 6	57

DAFTAR SIMBOL

Simbol	Keterangan	Halaman
ρ	Nilai resistivitas semu (Ωm)	16
K	Faktor geometri (m)	16
V	Beda potensial atau tegangan injeksi (mV)	16
I	Arus Injeksi (mA)	16
A	Elektroda arus Arus 1	15
B	Elektroda arus Arus 2	15
M	Elektroda Potensial 1	15
N	Elektroda Potensial 2	15
AB	Jarak spasi elektroda arus	15
MN	Jarak spasi elektroda tegangan	15

DAFTAR GAMBAR

No	Keterangan	Halaman
2.1	Magnet	5
2.2	Pasir Besi	6
2.3	Pasir Besi di Pantai Marina	10
2.4	Aliran Arus metode geolistrik	13
2.5	Elektroda Konfigurasi Schlumberger	15
2.6	Medium tak homogen (berlapis) dan Medium homogen	18
2.7	Tujuh lapisan bumi	22
2.8	Model daerah terionisasi di bumi oleh sinar matahari	28
2.9	Alat resistivimeter	30
2.10	GL-4100 Resistivity meter	33
3.1	Prosedur pengukuran lapangan	37
4.1	Peta lintasan geolistrik lokasi penelitian	43
4.2a	Kurva resistivitas batuan terhadap kedalaman di titik <i>sounding</i> 1	45
4.2b	Tabel resistivitas bawah permukaan titik <i>sounding</i> 1	45
4.3a	Kurva resistivitas batuan terhadap kedalaman di titik <i>sounding</i> 2	47
4.3b	Tabel resistivitas bawah permukaan titik <i>sounding</i> 2	47
4.4a	Kurva resistivitas batuan terhadap kedalaman di titik <i>sounding</i> 3	49
4.4b	Tabel resistivitas bawah permukaan titik <i>sounding</i> 3	49
4.5a	Kurva resistivitas batuan terhadap kedalaman di titik <i>sounding</i> 4	50
4.5b	Tabel resistivitas bawah permukaan titik <i>sounding</i> 4	50

4.6a	Kurva resistivitas batuan terhadap kedalaman di titik <i>sounding</i> 5	52
4.6b	Tabel resistivitas bawah permukaan titik <i>sounding</i> 5	52
4.7a	Kurva resistivitas batuan terhadap kedalaman di titik <i>sounding</i> 6	53
4.7b	Tabel resistivitas bawah permukaan titik <i>sounding</i> 6	53
4.8a	Penampang semu (<i>pseudo cross section</i>)	55
4.8b	Penampang resistivitas (<i>resistivity cross section</i>)	55
4.9a	Penampang semu (<i>pseudo cross section</i>)	56
4.9b	Penampang resistivitas (<i>resistivity cross section</i>)	57



DAFTAR LAMPIRAN

No	Keterangan	Perihal
1.	Peta lokasi dan peta geologi	65
2.	Nilai resistivitas batuan dan menu IP2Win	68
3.	Prosedur Pengolahan data	74
4.	Hasil pengolahan data	81
5.	Dokumentasi	88
6.	Surat	95



ABSTRAK

Nama Penyusun : Nurhidayat
NIM : 60400112014
Judul Skripsi : Survey pasir besi dengan metode geolistrik di pantai Marina kabupaten Bantaeng.

Telah dilakukan penelitian di Dusun Korong Batu, Desa Baruga Kecamatan Pa'jukukang Kabupaten Bantaeng untuk mengidentifikasi keberadaan pasir besi dengan menggunakan metode geolistrik resistivitas *sounding* dengan konfigurasi Schlumberger dengan 6 titik *sounding*, 2 lintasan dan jarak lintasan 120 meter setiap titik *sounding*. Pengukuran resistivitas menggunakan *Resistivimeter single chanel*. Pengolahan data dilakukan dengan *IPI2Win Ver. 2.6.3a* dengan hasil pengolahan berupa kedalaman, ketebalan dan jumlah perlapisan serta harga resistivitasnya. Hasil pengolahan ditentukan berdasarkan rekomendasi model dengan persentase error terkecil yang mengacu pada informasi pemetaan, geologi dan data sumur uji. Hasil interpretasi menunjukkan bahwa struktur bawah permukaan berupa pasir, batu pasir dan pasir besi dimana pasir besi yang diperoleh terdapat pada lintasan 1 nilai resistivitasnya sebesar (0,166-2,7) Ωm pada kedalaman (0,115-1,34) meter dan lintasan 2 nilai resistivitasnya sebesar (0,236-2,49) Ωm pada kedalaman (0,271-4,47) meter.

Kata kunci: *Geolistrik, schlumberger, pasir besi dan resistivitas*

UNIVERSITAS ISLAM NEGERI
ALAUDDIN
M A K A S S A R

ABSTRACT

Name : Nurhidayat
NIM : 60400112014
Thesis title : Survey Sand Iron by Geoelectric at Beach Marina of
Bantaeng regency.

This research has been conducted in Korong Batu, Baruga Village, Pajukukang district of Bantaeng regency. It could identify the existence of iron sand by using resistivity geoelectric sounding with schlumberger configuration for as many as 6 points of sounding and 2 tracks with length of a track is 120 meters for each sounding point, resistivity measurements using resistivitymeter single channel. Data processing has been done by IP2WIN ver. 2.6 3a with the processing results seem like a depth, thickness and number of coatings and resistivity value. The result of processing can be determined based on the model with the smallest error presentation refers to information mapping, geological data and test wells. Result of the interpretation showed that the subsurface structure in the form of sand, sand stone and iron sand obtained where there is on the track q resistivity value of (0,166-2,7) Ωm and a depth of (0,115-1,34) meters with track 2 resistivity value by (0,236-2,49) Ωm at a depth of (0,271-4,47) meters.

Key words: geoelectric , *schlumberger*, *iron sand* and *resistivity*.

UNIVERSITAS ISLAM NEGERI
ALAUDDIN
M A K A S S A R

BAB I

PENDAHULUAN

1.1 Latar Belakang

Kabupaten Bantaeng terletak dibagian selatan Provinsi Sulawesi Selatan. Geografis Kabupaten Bantaeng terletak pada koordinat 05°21'15" LS sampai 05°34'3" LS dan 119°51'07" BT sampai 120°51'07"BT. Berada diantara Laut Flores dan Gunung Lompobattang, dengan ketinggian dari permukaan laut 0 sampai ketinggian lebih dari 100 m dengan panjang pantai 21,5 km. Jenis batuan dan tanah di Bantaeng terdiri atas Tufa, Breaksi Lahar, Lava Basalt, Agglomerat, Intrusi Andesit, dan Endapan Aluvial (Pokja Kabupaten Bantaeng, 2012: 1, 7).

Batuan pembentuk pasir besi berupa basal dan andesit yang banyak terdapat di Kabupaten Bantaeng dengan ciri pantai yang berpasir hitam dan mengkilap yang menandai terdapatnya pasir besi yang melimpah yang dapat dimanfaatkan sebagai bahan baku semen dan beton yang sangat bernilai ekonomi.

Pasir besi adalah gumpalan pasir yang berasal dari partikel bijih besi, yang tersedimentasi di pesisir pantai, terbentuknya pasir besi karena proses penghancuran dan transformasi oleh cuaca, air permukaan dan gelombang dari batuan asalnya yakni basaltik ke andesik dengan kandungan mineral besi seperti magnetit, ilmenit, dan oksida besi, kemudian tersedimentasi serta terbawa oleh gelombang air laut. Pasir besi merupakan salah satu jenis besi yang dimanfaatkan sebagai bahan campuran dalam industri semen dan bisa dikembangkan sebagai bahan baku besi baja sesuai dengan teknologi (Tim Direktorat, 2005: 1).

Metode geolistrik resistivitas merupakan salah satu metode geofisika untuk mengetahui sifat aliran listrik di dalam bumi dengan cara menginjeksikan di dalam bumi dan cara mendeteksi tegangan di permukaan bumi untuk mengidentifikasi lapisan mineral di bawah permukaan bumi. Metode ini terdiri dari berbagai konfigurasi yakni aturan peletakan elektroda, dimana dalam penelitian digunakan konfigurasi *schlumberger* adalah metode untuk mengetahui tahanan jenis secara vertikal (kedalaman), 2 elektroda digunakan sebagai elektroda potensial dan 2 elektroda sebagai elektroda arus. Untuk konfigurasi elektroda *schlumberger*, spasi elektroda tegangan tetap dan spasi elektroda arus berpindah-pindah kecuali elektroda arus sudah jauh maka elektroda tegangan pindah.

Penelitian tentang pasir besi sudah mulai dikembangkan, salah satunya dilakukan oleh Moe Tamar tahun 2008 dengan judul “Eksplorasi Umum Pasir Besi di Daerah Kabupaten Jeneponto Provinsi Sulawesi Selatan”, yang bertujuan untuk

mendapatkan data primer tentang potensi sumber daya pasir besi yang terdapat di Jeneponto. Dari hasil penelitian di Jeneponto yang memiliki jenis batuan yang sama di Bantaeng, maka penulis telah melakukan penelitian tentang pasir besi untuk mengidentifikasi deposit pasir besi dengan metode geolistrik di pantai Marina kabupaten Bantaeng.

1.2 Rumusan Masalah

Rumusan masalah pada penelitian ini adalah sebagai berikut:

1. Material apa saja yang dapat teridentifikasi pada pengukuran dengan metode geolistrik resistivitas *sounding* konfigurasi schlumberger di pantai Marina kabupaten Bantaeng?
2. Berapa kedalaman yang teridentifikasi pada pasir besi dengan metode geolistrik resistivitas *sounding* konfigurasi schlumberger di pantai Marina kabupaten Bantaeng?

1.3 Tujuan Penelitian

Tujuan penelitian ini adalah sebagai berikut:

1. Untuk mengetahui material yang dapat teridentifikasi pada pengukuran dengan metode geolistrik resistivitas *sounding* konfigurasi schlumberger di pantai Marina kabupaten Bantaeng.
2. Untuk mengetahui kedalaman yang teridentifikasi sebagai pasir besi dengan metode geolistrik resistivitas *sounding* konfigurasi schlumberger di pantai Marina kabupaten Bantaeng.

I.4 Ruang Lingkup Penelitian

Guna menghasilkan kapasitas penelitian yang baik, maka lingkup pembahasan yang akan diteliti adalah:

1. Penelitian ini terbatas dilakukan di sepanjang Pantai Marina, Dusun Korong Batu, Desa Baruga Kecamatan Pa'jukukang kabupaten Bantaeng, Sulawesi Selatan untuk mengidentifikasi adanya deposit pasir besi disepanjang pantai Marina.
2. Penelitian ini menggunakan metode geolistrik resistivitas *sounding* konfigurasi *schlumberger* dengan panjang lintasan 120 meter untuk 6 titik *sounding* dan 2 lintasan untuk menentukan nilai resistivitas mineral yang berpotensi sebagai pasir besi.
3. Penelitian ini menggunakan alat resistivimeter serta pengolahan data lapangan menggunakan software Microsoft Exel dan IP2WIN (*Induced Polarization To Window*).

1.5 Manfaat

Manfaat dari penelitian ini adalah sebagai berikut:

1. Memberikan informasi dan peluang kerja bagi masyarakat dengan adanya kandungan pasir besi di pantai Marina Kabupaten Bantaeng.
2. Memberikan peluang usaha bagi industri untuk pengembangan polahan pasir besi.
3. Menjadi rujukan penelitian dalam pengembangan eksplorasi pasir besi bagi mahasiswa.

BAB II

TINJAUAN TEORETIS

2.1 Pasir Besi

Magnet memiliki fungsi untuk memberikan gaya pada sesama magnet atau benda lain yang memiliki sifat magnet. Magnet mempunyai dua kutub yakni kutub selatan dan kutub utara. Kutub yang sejenis akan saling tolak-menolak sedangkan yang tidak sejenis akan saling tarik-menarik, magnet terdiri atas 3 sifat yakni *paramagnetik*, *diamagnetik*, dan *feromagnetik* dimana pasir besi termasuk dalam sifat *feromagnetik* karena mampu menarik magnet dengan kuat (RM Hutahaean, 2014: 3).



Gambar 2.1 Magnet
(Sumber: RM Hutahaean, 2014: 4)

Pasir besi merupakan mineral yang berupa mineral opak yang bercampur dengan mineral non logam seperti, *kuarsa*, *kalsit*, *feldspar*, *ampibol*, *piroksen*, *biotit*,

tourmalin. Mineral tersebut terdiri dari *magnetit*, *titaniferous magnetit*, *ilmenit*, *limonit*, dan *hematit*, *Titaniferous magnetit* adalah bagian pasir besi yang cukup penting merupakan ubahan dari basaltik dan andesik (Hartono, 2014: 2).



Gambar 2.2 Pasir Besi
(Sumber: Dokumen Pribadi, 2015)

Pasir besi berasal mineral besi yang merupakan logam berat yang sangat kuat dan bermanfaat sebagaimana yang dijelaskan dalam al-Quran surat Al-Hadiid ayat 25 tentang Allah swt menurunkan besi yang memiliki kekuatan hebat dan memiliki banyak manfaat bagi manusia.

Dalam al-Qur'an Allah berfirman QS Al-Hadiid/27:25

لَقَدْ أَرْسَلْنَا رُسُلَنَا بِالْبَيِّنَاتِ وَأَنْزَلْنَا مَعَهُمُ الْكِتَابَ وَالْمِيزَانَ لِيَقُومَ النَّاسُ بِالْقِسْطِ
وَأَنْزَلْنَا الْحَدِيدَ فِيهِ بَأْسٌ شَدِيدٌ وَمَنْفَعٌ لِلنَّاسِ وَلِيَعْلَمَ اللَّهُ مَنْ يَنْصُرُهُ وَرُسُلَهُ بِالْغَيْبِ

ج
إِنَّ اللَّهَ قَوِيٌّ عَزِيزٌ

Terjemahnya:

Sesungguhnya Kami telah mengutus Rasul-rasul Kami dengan membawa bukti-bukti yang nyata dan telah Kami turunkan bersama mereka Al kitab dan neraca (keadilan) supaya manusia dapat melaksanakan keadilan. dan Kami ciptakan besi yang padanya terdapat kekuatan yang hebat dan berbagai manfaat bagi manusia, (supaya mereka mempergunakan besi itu) dan supaya Allah mengetahui siapa yang menolong (agama) Nya dan rasul-rasul-Nya Padahal Allah tidak dilihatnya. Sesungguhnya Allah Maha kuat lagi Maha Perkasa (Departemen Agama, 2002: 1226).

Ayat tersebut menjelaskan tentang tujuan Allah swt mengutus rasul dan menurunkan kitab suci dan neraca adalah supaya manusia menegakkan keadilan dan hidup dalam satu masyarakat yang adil. Allah swt menciptakan besi yang berfungsi untuk dijadikan penegakan keadilan, berdampingan dengan infak dalam melaksanakan jihad membela agama islam di jalan Allah swt. Ayat di atas dapat dijelaskan sebagai nasihat kepada mereka yang belum bersungguh-sungguh mempergunakan anugrah Allah swt sesuai dengan tujuan penciptaan. Allah swt memberikan mereka kemampuan untuk melaksanakan infak maka seharusnya mereka melakukannya. Allah swt mengutus nabi-nabi untuk mentaati perintahnya maka sepatutnya mereka menyambut baik tuntunanya dan Allah swt menciptakan besi agar digunakan untuk melawan orang-orang kafir (pembangkang) (Quraish Shihab, 2002: 451).

Kata *mizan*/neraca ada yang menafsirkan neraca yang digunakan untuk menimbang sesuatu, ini karena keselarasan hubungan ditandai oleh kejujuran dengan menggunakan neraca/timbangan dalam interaksi jual beli di masyarakat. Bisa juga

diartikan dengan agama karena agama yang digunakan sebagai tolak ukur keyakinan dan amal-amal manusia. agama yang merupakan sumber kebahagiaan hidup manusia baik secara individu maupun kelompok. Makna tersebut sesuai dengan konteks ayat-ayat ini menjelaskan keadaan manusia dari segi kekhusyukan dan kekerasan hati mereka serta kesungguhan dan kelesuhan mereka (Quraish Shihab, 2002: 452).

Kata *anzalna*/turunkan digunakan juga oleh al-qur'an dalam arti menciptakan atau menampakkan sesuatu yang tidak tampak menjadi tampak. Dalam kitab ini dijelaskan antara lain bahwa ayat ini menyatakan bahwa besi mempunyai kekuatan yang dapat membahayakan dan dapat menguntungkan dalam kehidupan manusia. Bukti paling kuat tentang ini adalah bahwa lempengan besi, dengan berbagai macam, besi mempunyai keistimewaan dalam bertahan menghadapi panas, tarikan, kekaratan dan kerusakan, di samping juga lentur sehingga dapat menampung daya magnet. Karenanya, besi adalah logam paling cocok untuk digunakan bahan senjata dan peralatan perang, dan merupakan bahan baku berbagai macam industri berat dan ringan yang dapat memajukan peradaban manusia selain itu besi juga mempunyai banyak kegunaan lain untuk makhluk hidup. Komponen besi masuk dalam proses pembentukan klorofil pada tumbuhan yang merupakan zat penghijau tumbuhan (terutama daun) yang terpenting dalam tumbuhan (proses pemanfaatan energi cahaya matahari) yang membuat tumbuhan dapat bernafas dan menghasilkan protoplasma (zat hidup dalam sel). Dari proses tersebut zat besi kemudian masuk ke dalam tubuh manusia dan hewan yang memiliki manfaat (Quraish Shihab, 2002: 452).

Dalam ayat ini menjelaskan tentang Allah swt mengutus nabi dan menurunkan kitab dan neraca (keadilan) agar manusia bersikap adil dalam kehidupan bermasyarakat dan diciptakan besi agar manusia dapat menegakkan keadilan dengan menggunakan besi itu dalam jihad membela agama islam misalnya dalam penggunaan besi dalam perang untuk membela agama islam terhadap orang-orang yang mengingkari perintah Allah swt, kemudian besi memiliki kekuatan yang sangat kuat dengan adanya besi di inti bumi dapat menimbulkan gravitasi sebesar $9,8 \text{ m/s}^2$ sehingga manusia mampu berjalan dimuka bumi.

Selama studi tim menghitung massa dari besi yang hadir di Perseus Cluster (struktur besar di alam semesta) atau galaksi dengan kode nama Abell 426 atau NGC 1275. Ilmuwan menemukan bahwa massa besi di Perseus Cluster setara dengan massa 50 miliar matahari di alam semesta. di galaksi jutaan tahun cahaya jauhnya dan miliaran tahun yang lalu yang meledak di angkasa dan serpihan besi menuju bumi, yang merupakan ungkapan peneliti dari Japanese Aerospace Exploration Agency (JAXA) dan hal inilah yang membuktikan bahwa besi itu diturunkan bukan diciptakan karena pembentukanya bukan di bumi (Luthfi. 2013: 1).

Mineral pasir besi berasal dari batuan basal dan andesik yang berasal dari gunung merapi yang pernah meletus. Kegunaannya pasir besi ini selain untuk industri logam besi juga telah banyak dimanfaatkan pada bahan industri semen. Pasir besi adalah mineral dengan kandungan pokok berupa mineral oksida besi, untuk menjadikan pasir besi murni harus mengandung Fe 51,5 % (Hartono, 2014: 2).



Gambar 2.3 Pasir Besi di Pantai Marina
(Sumber: Dokumen Pribadi, 2015)

Tabel 2.1 Komposisi kimia dari pasir besi

Komposisi	Jumlah
Al	2 %
Si	5,91 %
P	0,21 %
K	0,37 %
Ca	2,18 %
Ti	6,26 %
V	0,61 %
Cr	0,01 %
Mn	0,57 %
Fe	69,07 %
Bi	12 %

(Sumber : Wicaksono, 2011: 2)

2.2 Metode Geolistrik Resistivitas

Metode geolistrik digunakan untuk mempelajari kondisi bawah permukaan dengan cara menginjeksikan arus di dalam batuan di bawah permukaan bumi dan mengetahui potensial dipermukaan bumi yang terdiri dari besaran medan potensial, medan elektromagnetik yang diakibatkan oleh aliran arus listrik secara alami (pasif) maupun secara buatan (aktif). Metode geolistrik menggunakan arus listrik DC berfrekuensi dialirkan dalam tanah dan sehingga menimbulkan tegangan yang diukur oleh elektroda potensial. Elektroda pada saat melakukan pengukuran disusun sedemikian untuk menghitung jarak antara elektroda. Suatu besaran yang berfungsi sebagai faktor untuk pendugaan berbagai konfigurasi elektroda disebut sebagai faktor geometri. Faktor geometri adalah besaran untuk pendugaan tahanan jenis vertikal maupun horisontal, semakin panjang jarak antar elektroda maka semakin dalam arus menembus lapisan bumi (Santoso, 111-113).

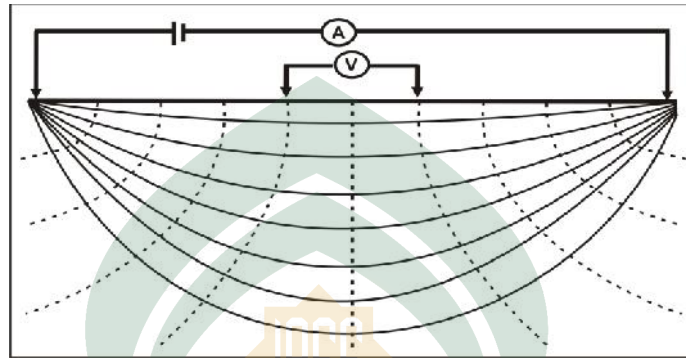
Geolistrik merupakan ilmu yang dapat digunakan dalam beberapa metode geofisika. Metode geofisika tersebut di antaranya adalah metode potensial diri, metode arus telurik, magnetotelurik, elektromagnetik, IP (*Induced Polarization*), dan resistivitas (tahanan jenis). Dari berbagai metode geofisika yang diterapkan dalam geolistrik, metode tahanan jenis adalah metode yang paling sering di gunakan karena lebih mudah dari metode lain, alat yang murah dan hanya membutuhkan sedikit orang dalam proses penelitian. Metode ini lebih efektif digunakan untuk eksplorasi yang mineral yang sifatnya dangkal, jarang memberikan informasi lapisan di kedalaman lebih dari 1000 kaki sampai 1500 kaki atau 300 meter sampai 500 meter. Oleh karena

itu metode ini jarang digunakan untuk eksplorasi minyak tetapi lebih banyak digunakan dalam bidang *engineering geology* seperti penentuan kedalaman *basement* (batuan dasar), pencarian reservoir air (air tanah), dan eksplorasi geothermal (panas bumi) (Wuryantoro, 2007: 30-31).

Metode geolistrik adalah salah satu metode sering digunakan dalam eksplorasi dangkal, khususnya untuk identifikasi air tanah karena resistivitas batuan sangat sensitif terhadap kandungan air sehingga lebih mudah untuk mengalirkan arus listrik. Metode resistivitas bertumpu pada analisa distribusi resistivitas batuan baik dipermukaan tanah maupun dibawah permukaan tanah sehingga dapat menentukan struktur geologi bawah permukaan tanah berdasarkan keadaan lapisan bawah permukaan. Metode ini juga banyak digunakan dalam eksplorasi mineral yang terkandung oleh pasir besi, batu bara maupun mitigasi bencana dengan berbagai macam konfigurasi elektroda misalnya *schlumberger* (Sari, 2015: 5).

Metode ini pada prinsipnya menginjeksikan arus listrik ke dalam bumi melalui dua elektroda arus yaitu elektroda A dan B sehingga menimbulkan beda potensial. Beda potensial diukur melalui dua elektroda potensial yaitu elektroda M dan N. Hasil pengukuran arus dan beda potensial untuk setiap jarak elektroda yang berbeda dapat digunakan untuk mengetahui faktor geometri dan nilai resistivitas (*sounding point*). Metode ini terdiri atas *Vertical Electrical Sounding* (VES) yang merupakan aplikasi metode secara horizontal atau sekitar lapisan horizontal bumi misalnya target geologi

seperti sedimen dari satuan batuan yang berbeda. Jumlah lapisan, ketebalan dan nilai resistivitas merupakan hasil dari VES (Kirsch, 2006: 85, 87).



Gambar 2.4 Aliran Arus metode geolistrik
(Sumber: Rolia, 2011; 6)

Pendugaan geolistrik untuk memperoleh gambaran mengenai lapisan tanah yang mengandung pasir besi di bawah permukaan dan kemungkinan terdapatnya pasir besi dan mineral pada kedalaman tertentu. Pendugaan geolistrik ini didasarkan pada kenyataan bahwa material yang berbeda akan mempunyai tahanan jenis yang berbeda apabila dialiri arus listrik. Pasir Besi mempunyai tahanan jenis yang lebih rendah dari pada batuan mineral karena terdapatnya pori yang besar yang terisi air. Dimana faktor-faktor yang mempengaruhi besarnya harga tahanan jenis adalah:

1. Jenis material

Tahanan jenis tergantung kemampuan daya hantar listrik setiap material. Semakin mudah material menghantarkan arus listrik, maka tahanan jenisnya semakin kecil dalam menahan arus listrik.

2. Kandungan air dalam batuan

Semakin banyak air pada batuan, maka tahanan jenisnya semakin kecil, karena air merupakan media penghantar arus listrik yang baik.

3. Porositas batuan

Semakin besar porositas batuan, berarti semakin banyak pori-pori dalam batuan yang bisa menampung air sehingga batuan lebih mudah menghantarkan arus, sehingga semakin kecil tahanan jenisnya karena semakin mudah menghantarkan arus.

4. Sifat kimiawi

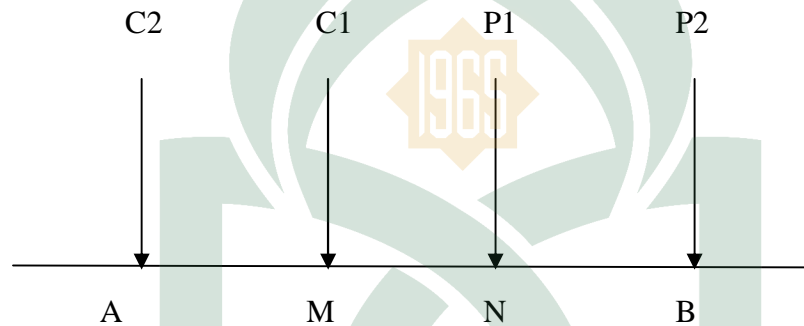
Air asin lebih mudah menghantarkan listrik daripada air tawar, sehingga tahanan jenisnya semakin kecil. Hal ini disebabkan karena terdapatnya ion-ion (Na^+ dan Cl^-) yang mampu menghantarkan arus listrik dengan cepat (Rolia, 2011: 8-9).

2.3 Konfigurasi *Schlumberger*

Aturan ini pertama kali diperkenalkan *Conrad Schlumberger*, dan banyak digunakan di Eropa. Seperti konfigurasi lainnya dapat digunakan sebagai pengukur resistivitas namun *schlumberger* untuk (VES) *vertical electricas sounding* perbedaanya hanya terletak pada letak elektroda-elektrodanya.

Konfigurasi ini digunakan untuk mengukur resistivitas secara vertikal (kedalaman). Pada konfigurasi *schlumberger* jarak MN dibuat sekecil-kecilnya, sehingga jarak MN tidak berubah, tetapi karena keterbatasan kepekaan alat ukur, maka ketika jarak AB sudah lebih besar maka jarak MN hendaknya diubah. Perubahan jarak MN hendaknya tidak lebih besar dari $\frac{1}{5}$ jarak AB. Kelebihan dari konfigurasi

schlumberger ini adalah mampu untuk mendeteksi adanya non-homogenitas lapisan batuan pada permukaan, yaitu dengan membandingkan nilai resistivitas semu ketika terjadi perubahan jarak elektroda $MN/2$. Agar pembacaan tegangan pada elektroda MN bisa dipercaya, maka ketika jarak AB relatif besar hendaknya jarak elektroda MN juga diperbesar (Telford dkk, 1990: 536).



Gambar 2.5 Elektroda Konfigurasi Schlumberger
(Sumber: Telford, 1990: 536)

Faktor geometri dapat dihitung dari persamaan sebagai berikut :

$$K = \pi \frac{\left[\left(\frac{AB}{2} \right)^2 - \left(\frac{MN}{2} \right)^2 \right]}{2 \left(\frac{MN}{2} \right)} \quad (2.1)$$

Keterangan:

K = Faktor geometri (m)

AB = Jarak elektroda arus (m)

MN = Jarak elektroda potensial (m)

= 3,14

Besarnya nilai K ditentukan berdasarkan metode konfigurasi yang dipakai. Nilai resistivitas dapat dihitung dari persamaan sebagai berikut:

$$= K \frac{\Delta V}{I} \quad (2.2)$$

Keterangan:

= Nilai resistivitas ($\Omega \cdot m$)

K = Faktor Geometri (m)

ΔV = Tegangan (V)

I = Arus (A) (Telford dkk, 1990: 536)

Pada metode resistivitas konfigurasi *schlumberger*, bumi diasumsikan atau sebagai bola padat yang mempunyai sifat homogen isotropis. Dengan perumpamaan ini, maka seharusnya resistivitas yang terukur merupakan resistivitas sebenarnya dan tidak bergantung atas spasi elektroda $= K \cdot V/I$. Namun pada kenyataannya bumi terdiri atas berbagai lapisan dengan yang berbeda-beda pula sehingga potensial yang terukur merupakan pengaruh dari gabungan lapisan-lapisan. Maka harga resistivitas yang terukur bukan merupakan harga resistivitas untuk satu lapisan, tetapi beberapa lapisan, hal ini terutama untuk spasi elektroda arus yang panjang dibanding elektroda tegangan (Wuryantoro, 2007: 31-32).

Dalam vertikal *sounding* spasi elektroda potensial tetap sedangkan spasi elektroda arus berubah secara lurus terhadap titik *sounding*. Untuk jarak elektroda arus yang besar maka elektroda tegangan diperbesar pula agar potensial tetap bisa terukur pada alat resistivitas.

Aturan peletakan elektroda *schlumberger* mempunyai sifat-sifat sebagai berikut:

- a. Elektroda potensial jarang diubah sehingga mengurangi jumlah pekerjaan yang dipergunakan di lapangan.
- b. Tetapi karena jarangnya elektroda potensial diubah menyebabkan konfigurasi ini tidak sensitif terhadap adanya ketidakhomogenan lokal pada lapisan dangkal, oleh karena itu, aturan ini dianjurkan untuk dipake penyelidikan dalam.
- c. Harga perbandingan $AB/2$ dan $MN/2$ harus cukup besar, tetapi jika terlalu besar dapat menimbulkan perubahan pada faktor geometri. Disarankan perpindahanya perbandinganya terletak diantara 5-50. Lebih baik jika pengubahan jarak elektroda potensial selama perpisahan jarak elektroda arus berdasarkan hasil penggambaran harga resistivitas terbaca jarak $AB/2$ yang dilakukan pada saat interpretasi pendahuluan. Perubahan jarak elektroda potensial tersebut dilakukan jika terdapat perubahan bentuk kurva lapangan tersebut (Kurniawan, 2013: 36-37)

Proses pengambilan pengolahan data geolistrik metode *schlumberger* dapat dilakukan melalui 2 tahap pekerjaan :

1. Pekerjaan pra survei

Tahapan dalam pelaksanaan pra survei adalah:

- a. Mencatat posisi dan ketinggian lokasi penelitian
- b. Pemetaan geologi jenis batuan dan penyebaran mineral
- c. Mendeskripsikan jenis batuan (struktur, tekstur, komposisi mineral)

2. Survei lapangan

Tahapan dalam pelaksanaan survei lapangan adalah:

- Mengukur kedalaman sumur-sumur galian (lubang bor) guna untuk mengamati mineral-mineral yang khas dan menghantar listrik.
- Mengukur resistivitas sebaiknya menghindari tiang listrik, aliran air permukaan atau tiang listrik yang dapat mempengaruhi data lapangan.
- Mendeskripsikan jenis batuan (struktur, tekstur, dan komposisi mineral) .

Untuk kejadian yang tak homogen, bumi diumpamakan berlapis-lapis dengan masing-masing lapisan mempunyai harga resistivitas yang berbeda-beda . Resistivitas semu merupakan resistivitas dari berbagai lapisan dengan nilai resistivitas yang sama atau sebaliknya. Sebagai contohnya adalah sebagai berikut:



Gambar 2.6 (a) Medium tak homogen (berlapis) dan (b) Medium homogen

(Sumber: Wuryantoro, 2007: 32)

Medium berlapis pada gambar (a) terdiri dari dua lapis yang berbeda resistivitasnya (1 dan 2) dianggap sebagai medium satu lapis yang homogen dan mempunyai satu harga resistivitas, yaitu resistivitas semu a, dengan konduktansi

lapisan fiktif (tidak nyata) sama dengan jumlah konduktansi masing-masing lapisan (Wuryantoro, 2007: 32).

Dijelaskan bahwa bumi itu terdiri atas berbagai lapis dan memiliki nilai resistivitas yang berbeda pula sebagaimana yang dijelaskan pula dalam al-Qur'an surah At-Thalaq ayat 12 bahwa bumi memiliki lapisan-lapisan.

Dalam al-Qur'an Allah berfirman QS At-Thalaq/65:12:

اللَّهُ الَّذِي خَلَقَ سَبْعَ سَمَوَاتٍ وَمِنَ الْأَرْضِ مِثْلَهُنَّ يَتَنَزَّلُ الْأَمْرُ بَيْنَهُنَّ لِتَعْلَمُوا أَنَّ اللَّهَ عَلَىٰ كُلِّ شَيْءٍ قَدِيرٌ وَأَنَّ اللَّهَ قَدْ أَحَاطَ بِكُلِّ شَيْءٍ عِلْمًا ﴿١٢﴾

Terjemahnya :

Allah-lah yang menciptakan tujuh langit dan seperti itu pula bumi. perintah Allah Berlaku padanya, agar kamu mengetahui bahwasanya Allah Maha Kuasa atas segala sesuatu, dan Sesungguhnya Allah ilmu-Nya benar-benar meliputi segala sesuatu (Departemen Agama, 2002: 1271).

Allah swt menciptakan 7 langit dan bumi. perintah Allah turun di antara mereka, yaitu antara tujuh langit dan tujuh bumi dengan turunya malaikat jibril ke bumi untuk membawa wahyu Allah atau ketentuan Allah swt yang nyata di bumi ini. Allah swt menyampaikan informasi kepada manusia agar manusia mengetahui bahwa Allah swt atau segala sesuatu maha kuasa dan bahwa Allah swt sesungguhnya ilmunya meliputi segala hal karena itu manusia diperintahkan untuk bertakwa kepada Allah swt dan laksanakan tuntunannya, seperti yang dijelaskan sejak awal surah ini menyangkut thaliq dan iddah (Quraish Shihab, 2002: 153).

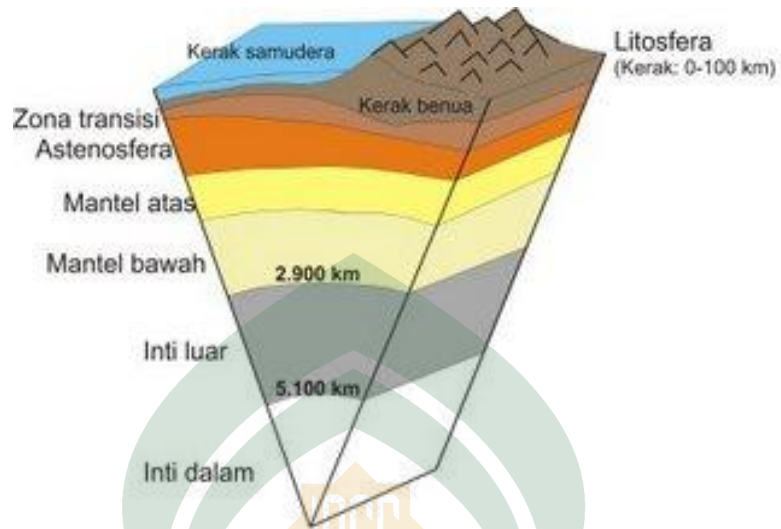
Firman-Nya *wa min al-ardh mitslahunni* dan di bumi manusia memahami bahwa arti bilangan bumi seperti halnya tujuh langit dan terdapat pula pendapat bahwa hal tersebut berkaitan dengan sisi penciptaan bumi dan langit. Yakni, sebagaimana Allah swt menciptakan langit yang tujuh itu seperti itu juga Dia yang menciptakan gunung ini. penciptaan bumi merupakan salah satu kehebatan penciptaan gunung itu. Penciptaan bumi tidaklah mengagumkan dibandingkan dengan penciptaan langit tujuh lapis tersebut. bisa juga persamaan dan kesepertian itu dari sisi bentuknya yang lonjong dan bulat dalam peredarannya, yakni bumi beredar sebagai mana langit atau planet-planet yang lain beredar, yang memahami persamaannya dalam bilangan, ada yang menyatakan bahwa maksud dari lapisan bumi atau benua-benua yang ada sebelum dikenalnya alat-alat transportasi laut dan sebelum terpisahnya benua Asia dan Eropa dan sebelumnya tenggelam beberapa benua di bumi (Quraish Shihab, 2002: 154).

Ayat ini merupakan mukjizat yang sangat besar. Karena ayat alquran ini menjelaskan bahwa bilangan lapisan bumi ada tujuh lapis dan begitupun dengan langit memiliki tujuh lapisan dan menentukan bentuk lapisan bumi bentuk bulat atau semi bulat dan setelah penelitian berdasarkan ayat al-Qur'an dan pengetahuan teknologi ternyata benar adanya bahwa langit dan bumi memiliki 7 lapisan. Tujuh lapisan langit yang terdiri dari troposfer, stratosfer, ozonosfer, mesosfer, termosfer, ionosfer dan eksosfer, serta tujuh lapisan bumi yang terdiri centrosphere (inti bumi), lapisan luar inti bumi, lapisan terbawah pita bumi (pita bawah), lapisan tengah pita bumi (pita

tengah), lapisan teratas pita bumi (pita atas), lapisan bawah kerak bumi dan lapisan atas kerak bumi.

Adanya penyebutan tujuh (lapis) bumi banyak menimbulkan pertanyaan bagi orang yang menemui hadist tersebut. Apakah yang dimaksud dengan tujuh (lapis) bumi adalah planet didalam system tata surya kita sebagaimana dugaan sementara sebelum 11 planet diemukan atau tujuh bumi itu adalah lapisan bumi yang bumi yang kita tinggali sekarang yang terbentuk oleh adanya proses panjang mulai dari pembentukan yang diakibatkan oleh ledakan yang biasa disebut teori big bag yang menyatakan bahwa adanya 2 planet yang sama besar saling bertabrakan dan meledak membentuk bola panas dan mengalami pendinginan dalam waktu yang lama sehingga bumi seperti sekarang ini.

Jantung bumi adalah sangatlah keras dikelilingnya terdapat lapisan semi cair (kental) dengan suhu sangat tinggi, jadi perut bumi terdiri dari 2 tingkatan. Dua tingkatan itu masing-masing adalah tingkatan (bagian) penopang berada dalam inti yang keras dan dikelilingi (bagian) perairan. Kemudian berkembanglah berbagai pendapat dapat menjelaskan dengan baik dan jelas bagian-bagian dalam bumi, mereka mendapatkan tingkatan lain terdiri dari bebatuan yang terbakar yang merupakan penutup atau pelindung bebatuan. Kemudian, ada tiga tingkatan lain yang berbeda, dilihat dari segi ketebalannya dan tekanan suhunya yang tinggi serta panjang gelombang yang berbeda. Oleh sebab itu, para ilmuwan mengklasifikasikan (memperbaiki) bumi terdiri dari 7 lapis. Penelitian ini pernah dilakukan oleh U. S. Geological Survey (Dr. Zaghlul. 2014).



Gambar 2.7 Tujuh lapisan bumi
(sumber: Dr. Zaghlul An-Najjar. 2014: 4)

Dari berbagai kajian dan penelitian geofisika membuktikan bahwa bumi terbentuk dari tujuh lapisan tertentu. Ketujuh lapisan tersebut adalah sebagai berikut

1. *Centrosphere* (Inti Bumi)

Centrosphere (inti bumi) adalah pusat bumi yang sangat keras yang memiliki kandungan besi 90% , dan nikel 9%, dan unsur-unsur ringan lain seperti karbon, fosfor, sulfat, silikon dan oksigen yang mencapai 1%. Diameter *Centrosphere* kurang lebih 24.2 km, dengan rata-rata tingkat kepadatan yang mencapai 10-13.5 gram/cm³ (karena rata-rata kepadatan bebatuan lapisan kulit bumi adalah 2,8-3 gram/cm³ sedangkan rata-rata kepadatan bumi secara keseluruhan adalah 5,5 gram/cm³). Inti bumi yang terletak di inti bumi ini adalah lapisan bumi ketujuh atau terdalam.

2. Lapisan luar inti bumi

Lapisan ini lunak dan semi cair dengan suhu sangat tinggi. Lapisan ini meliputi inti bumi dan memiliki komposisi kimia hampir sama, lapisan ini bersifat semi cair (kental). Ketebalannya kira-kira mencapai 2,275 km. Antara lapisan bumi dan lapisan luar inti bumi ini memiliki ketebalan mencapai 450 km yang kemudian biasa disebut lapisan yang berada di atas inti bumi (inti bumi yang lunak) lapisan ini adalah lapisan bumi keenam.

3. Lapisan terbawah pita bumi (pita bawah)

Lapisan Terbawah Pita Bumi adalah lapisan ke lima, dimana lapisannya keras yang mengelilingi lapisan luar inti bumi (yang lunak). Ketebalan lapisan bumi ini mencapai 2.215 km (dari kedalaman 670 km hingga kedalaman 2.885 km). Lapisan ini berada diantara pita tengah yang berada di atasnya oleh bidang diskontinuitas gelombang getar yang mengakibatkan gempa.

4. Lapisan tengah pita bumi (pita tengah)

Lapisan ke 4 Terletak pada kedalaman 670 km (dan memisahkan pita tengah ini dengan pita bawah). Lapisan yang keras yang ketebalannya mencapai kira-kira 270 km. Dari bawah dan atas, lapisan ini dipisahkan oleh dua bidang diskontinuitas gelombang getar. Sedangkan yang lain terletak pada kedalaman 400 km di bawah permukaan bumi dan memisahkannya dengan pita atas.

5. Lapisan teratas pita bumi (pita atas)

Adalah lapisan elastis yang memiliki tingkat kepadatan dan kerekatan yang sangat tinggi. Oleh karena itu, Lapisan ini adalah lapisan lunak bumi. Lapisan ini membentang antara kedalaman 65-120 km dan kedalaman 400 km dibawah

permukaan bumi sehingga ketebalannya berkisar antara 335-380 km di bawah permukaan bumi sehingga ketebalannya berkisar antara 335-380 km. Lapisan ini merupakan lapisan bumi ketiga.

6. Lapisan bawah kerak bumi

Ketebalan lapisan ini antara 5-8 km di bawah permukaan air laut dan samudra antara kedalaman 60-80 km dan 120 km dibawah permukaan bumi. Dari bawah, lapisan ini dibatasi oleh batas teratas lapisan lemah bumi. Adapun dari atas, ia dibatasi oleh garis diskontinuitas gelombang getar yang disebut *mohorovicic discontinuity*. Kerak batuan ini disebut dengan lapisan bumi kedua.

7. Lapisan atas kerak bumi

Ketebalan lapisan ini berkisar antara 5-8 km di bawah dasar laut dan samudra atau rata-rata antara 60-80 km di bawah benua. Lapisan tersusun dari batu-batu granit (marmer) yang dilapisi oleh penutup tipis yang berasal dari sedimen dan debu. Lapisan kerak bumi ini disebut dengan lapisan bumi pertama karena berada paling atas (Angkringan, 2012).

Semua sifat fisika batuan dan mineral, resistivitas memiliki variasi harga yang sangat banyak. Pada mineral-mineral logam, harganya berkisar pada 10^8 m bermacam-macam akan menghasilkan range resistivitas yang bervariasi pula. Kebanyakan mineral membentuk batuan penghantar listrik yang tidak baik karena kepadatan walaupun beberapa logam asli dan grafit menghantarkan arus listrik resistivitas yang terukur pada material bumi utamanya ditentukan oleh pergerakan ion-ion bermuatan positif dan negatif dalam pori-pori fluida. Air tanah adalah media

penghantar arus yang baik, meskipun air tanah bukan konduktor listrik yang baik. (Wuryantoro, 2007: 32).

2.4 Sifat Kelistrikan Batuan

1. Muatan listrik dan materi

Muatan listrik dan materi saling berkaitan, terutama hubungan sifat fisis suatu materi dengan muatan listriknya. Materi adalah kumpulan sejumlah atom dan molekul. Molekul terdiri dari berbagai atom, sedangkan atom terdiri dari inti yang bermuatan positif dan dikelilingi oleh awan elektron yang bermuatan negatif. Dalam suatu materi padatan, cairan maupun gas, terjadi interaksi antara satu atom dengan atom lainnya. Interaksi tersebut menyebabkan beberapa elektron terlepas dari ikatannya dan menjadi elektron bebas. Materi yang memiliki banyak elektron bebas akan semakin mudah menghantarkan arus. Materi yang banyak mengandung elektron bebas disebut konduktor (penghantar listrik), sedangkan yang sedikit mengandung elektron bebas disebut isolator (tidak menghantarkan listrik).

2. Kelistrikan batuan

Sifat listrik batuan adalah karakteristik dari batuan bila aliran arus listrik kedalamnya. Arus listrik ini bisa berasal dari alam itu sendiri atau arus listrik yang sengaja dimasukkan kedalamnya misalnya dalam metode geofisika yakni geolistrik.

3. Potensial listrik batuan

Potensial listrik batuan atau potensial diri disebabkan oleh terjadinya kondisi elektrokimia atau kegiatan mekanik. Faktor pengontrol dari kejadian ini adalah air

tanah. Pada kontak geologi, kegiatan bioelektrik dari materi organik korosi, gradien termal dan gradien tekanan. Potensial alam ini dapat dikelompokkan menjadi empat yaitu ;

- a. Potensial elektrokinetik, potensial ini disebabkan jika suatu larutan melalui suatu pipa kapiler atau medium yang berpori.
 - b. Potensial difusi, potensial ini disebabkan jika perbedaan mobilitas dari ion dalam suatu larutan dengan konsentrasi yang berbeda.
 - c. Potensial *nerust*, potensial ini timbul jika memasukkan elektron ke dalam larutan homogen.
 - d. Potensial mineralisasi, potensial ini timbul jika memasukkan dua elektron logam ke dalam larutan homogen.
4. Konduktivitas listrik batuan

Konduktivitas listrik yang berada dekat dengan permukaan ditimbulkan oleh jumlah air, kadar garam air dan air yang terdistribusi dalam batuan. Konduktivitas listrik dalam batuan yang mengandung air sangat ditentukan oleh sifat air, yakni elektrolit. Larutan garam terdiri dari anion dan kation yang bergerak bebas dalam air. Adanya medan listrik dari luar menyebabkan kation dalam larutan elektrolit dipercepat menuju kutub negatif begitupun sebaliknya. Batuan yang terisi air nilai resistivitas listriknya berkurang. Gejala kelistrikan di dalam bumi adalah dengan menganggap bumi sebagai medium homogen isotropos. Dengan perlakuan tersebut kemudian medan listrik dari titik sumber didalam bumi dianggap memiliki simetri bola (Kurniawan, 2013; hal 43-45).

Pada bagian batuanm atom-atom terikat secara ionik atau kovalen. Karena adanya ikatan ini maka batuan mempunyai sifat menghantarkan arus listrik. Aliran arus listrik di dalam batuan/ mineral dapat digolongkan menjadi tiga macam yaitu:

a. Konduksi elektronik

Terjadi jika batuan/mineral tersebut mempunyai banyak elektron bebas. Akibatnya arus listrik mudah mengalir pada batuan ini contohnya batuan yang banyak mengandung logam.

b. Konduksi elektrolitik

Konduksi jenis ini banyak terjadi pada batuan/ materi yang bersifat porus dan pada pori-pori tersebut terisi oleh larutan elektrolit.

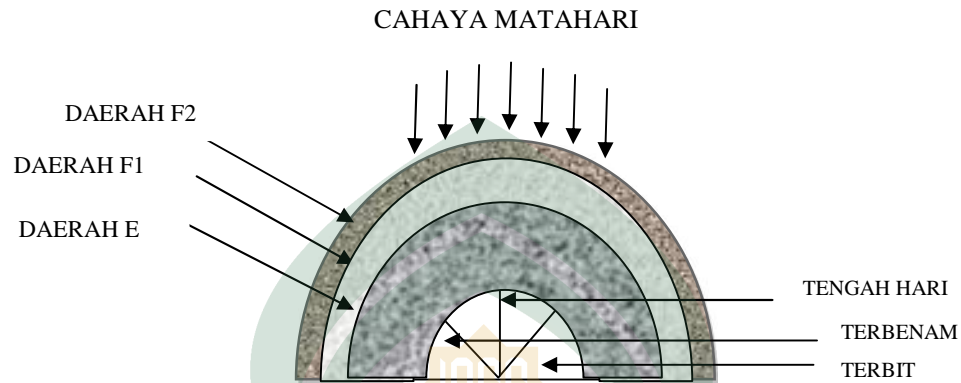
c. Konduksi dielektrik

Konduksi ini terjadi pada batuan yang bersifat dielektrik artinya batuan tersebut mempunyai elektron bebas sedikit bahkan tidak sama sekali. Tapi karena adanya pengaruh medan listrik dari luar, maka elektron-elektron dalam atom batuan dipaksa berpindah dan berkumpul terpisah dengan intinya sehingga terjadi polarisasi. Peristiwa ini sangat tergantung pada konstanta dielektrik batuan yang bersangkutan (M.Reynoldds, 1998: 420)

5. Kelistrikan Bumi dan Kemagnetan Bumi

Kelistrikan bumi cenderung membahas tentang sifat-sifat kelistrikan yang berda dipermukaan bumi. Di dalam bumi bentuk arus listrik terdiri dari elektron, namun dalam batuan sedimen yang bersaturasi air, di laut, dan di atmosfer, kebanyakan

berupa ion. Model daerah terionisasi yang ideal adalah sebagaimana yang ditunjukkan gambar dibawah ini.



Gambar 2.8 Model daerah terionisasi di bumi oleh sinar matahari
(Sumber: Santoso, 107)

Konduktivitas atau kemampuan suatu batuan menghantarkan arus listrik di dekat permukaan bumi kebanyakan ditentukan oleh jumlah distribusi air garam pada batuan yang memiliki pori-pori. Di bawah lapisan sedimen dan bagian bawahnya, tekanan yang terjadi membuat pori-pori yang ada dalam batuan tertutup dan hanya batuan keraslah yang bisa membawa arus listrik. Konduktivitas batuan beku dan metamorf lebih rendah dibanding dengan batuan sedimen. Elektron di udara dapat menimbulkan arus listrik di bumi. Arus ini akan menghasilkan medan magnet, sistem sirkulasinya mengikuti matahari secara harian. Arus di bumi tidak bisa diukur secara langsung melainkan ditentukan dari resistivitas dengan mengacu pada hukum ohm. Beda tegangan lokal dapat timbul oleh beberapa sebab, terutama oleh reaksi kimia. Reaksi reduksi kimia ini terjadi pada keadaan air tanah yang rendah oksigen. Polarisasi yang terjadi pada tanah menyebabkan perbedaan aktivitas kimia sehingga terjadi perubahan

konsentrasi ion. Beda potensial juga dapat ditimbulkan oleh pergerakan larutan melalui batuan yang permeabel. Bumi merupakan sebuah benda magnet raksasa letak kutub utara dan selatan magnet bumi tidak berimpit dengan kutub geografis. Pengaruh dari kutub utara dan kutub selatan bumi memisahkan khatulistiwa magnet. Intensitas magnet akan bernilai maksimum di kutub dan lebih sedikit di khatulistiwa. (Santoso, 107-109).

6. Sifat kelistrikan dasar interpretasi

Secara teoritis setiap batuan memiliki kemampuan daya hantar listrik dan harga tahanan jenisnya masing-masing batuan yang sama belum tentu mempunyai nilai tahanan jenis yang sama begitupun sebaliknya. Faktor-faktor yang mempengaruhi terhadap nilai tahanan jenis antara lain: komposisi mineral pada batuan, kondisi batuan, komposisi benda cair pada batuan dan faktor eksternal lainnya. faktor-faktor yang mempengaruhi tahanan jenis adalah sebagai berikut :

- a. Batuan sedimen yang bersifat lepas (urai) mempunyai nilai tahanan jenis yang lebih rendah dibanding dengan batuan sedimen padat dan kompak karena sedikit pori.
- b. Batuan beku dan metamorf (ubahan) mempunyai nilai tahanan jenis yang tergolong tinggi karena strukturnya padat.
- c. Batuan yang basah dan mengandung air, nilai tahanan jenisnya akan semakin tinggi jika mengandung air asin. Dalam pengambilan data lapangan perlu diperhitungkan faktor luar yang bisa mempengaruhi akurasi data seperti kabel, tiang listrik, dan saluran pipa logam. Dalam interpretasi sangat diperlukan

perolehan gambaran tentang besarnya nilai tahanan jenis untuk berbagai macam air dan batuan ataupun kombinasi diantaranya (Sultan, 2009: 152).

2.5 Alat resistivimeter

Resistivimeter adalah alat yang digunakan dalam metode geolistrik dengan cara menginjeksikan arus dan membaca tegangan dipermukaan bumi sehingga dapat diketahui nilai resistivitas suatu mineral.



Gambar 2.9 Alat resistivimeter

(Sumber: Manual Geolistrik Resistivimeter: 9)

Alat Resistivity Meter terdiri dari :

1. Current transmitter
2. Volt meter
3. Ampere meter
4. Connection test
5. ADC
6. PC controller

Current transmitter (pembangkit arus listrik) memiliki tegangan output oleh beban yang diberikan. Untuk mengantisipasi adanya potensial diri dalam bumi, arus injeksi yang diberikan harus cukup. Tidak perlu terlalu besar, tetapi harus jauh lebih besar dari arus yang ditimbulkan oleh potensial diri bumi. *Current transmitter* dapat memberikan arus listrik sekitar 100 mA atau 200 mA (menggunakan *Boost*).

Volt meter dan ampere meter memiliki kemampuan untuk membaca data (*data hold*) serta dapat menentukan *range* pengukuran secara otomatis dan manual (*autorange*). Batas maksimum pengukuran volt meter hingga 1000 V sedangkan ampere meter hingga 400 mA.

Connection test digunakan untuk memastikan masing-masing elektroda (A, B, M, N) terkoneksi dengan baik dengan tanah dan alat. Koneksi elektroda dengan tanah dapat diperbaiki menggunakan porus spot yaitu cairan terusi (elektrolit). Jika koneksi elektroda dengan tanah sudah cukup baik namun *connection test* gagal, hal ini disebabkan oleh resistansi antar elektroda (R_{AB} atau R_{MN}) memiliki nilai lebih dari 4 k Ω .

ADC digunakan untuk membaca tegangan secara kontinu pada pengukuran IP (*Induced Polarization*). Untuk mengoptimalkan bidang dinamika pada sistem pengukuran, maka range VMN yang direkomendasikan adalah 2 - 10 V.

a. Spesifikasi Alat

- *Controlled AB voltage* : 0 - 400 V
- *AB current max* : 100 mA, 200mA (*Boost*)
- *Injection time* : 4 - 6 s

- *Volt meter range* : 0 - 1000 V

- *Ampere meter range* : 0 - 400 mA

b. Persiapan dan Pengoperasian

Memastikan selektor putar ampere meter berada pada mA dan selektor putar volt meter pada V, posisi ini tidak boleh salah, mengaktifkan ampere dan volt meter masing-masing dengan tombol Power. Jika indikator battery muncul, mengindikasikan battery pada meter harus diganti. Masing-masing meter memiliki battery internal 9V yang terletak di dalam kompartement alat.

Beberapa bagian seperti ampere meter, *current transmitter* dan *connection test* dilengkapi dengan pengaman sekering (*internal fuse*) yang diletakan di bagian dalam alat. Terdapat 6 buah sekering, 2 sekering pada masing-masing voltmeter dan ampermeter dan 2 sekering pada kontrol injektor. memeriksa masing-masing sekering jika sistem alat tidak berfungsi.

mengaktifkan kedua meter melalui tombol Power. *Current transmitter* dan *connection test* langsung aktif ketika terhubung dengan 2 buah *battery external*. *Battery* yang digunakan adalah accu kering dengan kapasitas masing-masing 12V 7Ah. Mematuhi pula aturan pengisian *battery* menggunakan *battery charger* yang sesuai.

Memasang keempat elektroda menurut aturan konfigurasi dan metoda pengukuran yang digunakan. Lakukan pengujian kontak dengan *conecction test* untuk memastikan elektroda terpasang dengan baik (A-B dan M-N). Memeriksa koneksi setiap elektroda dengan tanah melalui tombol *Connection Test* yang ditandai oleh

bunyi (sinyal *beep*) beberapa saat. Untuk menghilangkan pengaruh SP (Self Potensial), tekan tombol REL pada volt meter, maka tegangan terukur akan menjadi 0 V (SP tidak diukur).



Gambar 2.10 GL-4100 Resistivity meter
(Sumber: Dokumen Pribadi, 2016)

d. Pengoperasian Geolistrik Secara Manual

Untuk menghasilkan arus injeksi sebesar 100 mA, maka menekan tombol *Inject*; sedangkan untuk arus injeksi 200 mA, tekan tombol *Boost* bersamaan dengan *Inject*. Proses injeksi akan terjadi apabila *Inject* ditekan selama 4 sampai 6 detik lalu berhenti otomatis. Jika sebelum 4 -6 detik data arus dan tegangan sudah stabil (tidak berubah) maka proses pengambilan data dapat segera dilakukan dan proses injeksi segera dihentikan. Pencuplikan data dilakukan dengan menekan masing-masing *Hold* sebelum proses injeksi berhenti (Manual Geolistrik Resistivity Meter: 5-9).

2.6 IP2WIN

IP2Win (*Induced Polarization To Window*) Ver. 2.6.3a adalah software yang digunakan untuk mengolah data geolistrik dari satu atau lebih titik VES (*Vertical*

Electrical Sounding). IP2Win mengolah data geolistrik yang menggunakan metode IP (*Induced Polarization*) dengan berbagai jenis konfigurasi misalnya *Schlumberger*, *Wenner-* , *Wenner-* dan lain-lain. Penggunaan IP2Win mencakup beberapa tahapan dalam penggunaan software IP2Win adalah input data, koreksi error data, penambahan data dan pembuatan *cross section*. Input data dilakukan dari data langsung yang diperoleh di lapangan (data AB/2, V, I, dan K) atau data tak langsung (berupa data K dan Rho_a). Data hasil olahan IP2Win berupa data *resistivity layer*, grafik *log resistivity* terhadap AB/2, *resistivity cross Section*, serta *pseudo cross section*. Data hasil olahan dapat di *export* dari berbagai macam pilihan pengolahan data geofisika. Kelemahan software IP2Win adalah bahwa software ini banyak terdapat *bug* atau *error-error* kecil sehingga dalam tahapan pengolahan tertentu, program harus di *restart* (mengeluarkan program kemudian menjalankan program kembali) (Kurniawan, Alva. 2009; 4).

Baris Menu berisi barisan perintah berupa menu, dalam IPI2Win mempunyai baris menu File, Edit, Point, Model, Section, Options, Windows, Help. Penjelasan berikutnya dapat dibaca pada lampiran 2.

BAB III

METODE PENELITIAN

3.1 Waktu dan Lokasi

Waktu dan tempat pelaksanaan penelitian (mulai dari tahap proposal sampai dengan tahap penulisan skripsi) ini dilaksanakan pada :

3.1.1. Waktu

Penelitian ini dilaksanakan pada bulan Februari sampai Agustus 2016.

3.1.2. Lokasi penelitian

Lokasi penelitian ini bertempat di sepanjang Pantai Marina, Dusun Korong Batu, Desa Baruga Kecamatan Pa'jukukang Kabupaten Bantaeng, Sulawesi Selatan

3.2 Alat dan Bahan

Adapun alat dan bahan yang digunakan pada penelitian ini adalah

1. Resistivimeter (*single channel*) 1 unit
2. Elektroda 16 buah (elektroda arus dan tegangan).
3. Kabel gulungan kecil 5 buah

4. Aki sebagai sumber tegangan 2 buah
5. GPS (*Global Positioning System*)
6. Meteran 2 roll
7. Palu geologi 2 buah
8. Laptop (software Ms. Office excels dan IP2WIN)
9. Alat dokumentasi
10. Alat tulis menulis
11. Kalkulator

3.3 Prosedur Penelitian

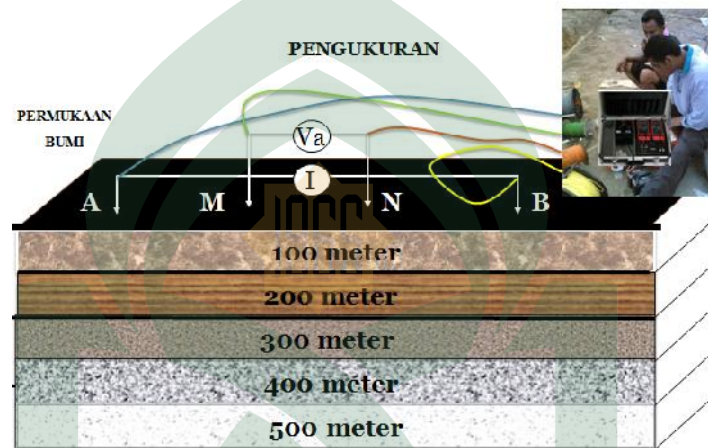
3.3.1 Prosedur Lapangan

3.3.1.1 Pengambilan data di lapangan

Adapun pengambilan datanya sebagai berikut:

1. Memasang 1 buah elektroda sebagai titik sounding dan tempat acuan memasang roll meter serta menggunakan GPS (*Global Positioning System*) untuk mengetahui titik koordinatnya.
2. Memasang 2 elektroda arus (elektroda A dan B) dengan jarak 3 meter dan 2 elektroda tegangan 2 (elektroda M dan N) dengan jarak 1 meter.
3. Membentangkan kabel dengan konfigurasi *schlumberger* (titik M, N, A, dan B) sekaligus memasangnya pada elektroda dan alat resistivimeter (*single channel*).
4. Memasang kabel konektor dari aki ke alat resistivimeter (*single channel*).
5. Mengecek koneksi kabel dengan menekan tombol test A-B dan M-N.

6. Setelah mendengar suara bunyi dari tombol koneksi, maka dilanjutkan dengan menekan tombol *Range* dan *Rel* agar nilai awalnya menjadi nol (kalibrasi).
7. Lalu menekan tombol *inject* beberapa detik dan dilanjutkan dengan menekan tombol *Hold* sehingga muncul nilai Arus dan Beda Potensial.



Gambar 3.1 Prosedur pengukuran lapangan
(Sumber: Dokumen pribadi, 2016)

8. Menulis jarak elektroda AB secara berurut yakni 3 meter, 5 meter, 8 meter, 10 meter, 16 meter, 16 meter, 20 meter, 30 meter, 40 meter, 60 meter, 60 meter, 80 meter, 100 meter dan 120 meter, jarak $AB/2(m)$ adalah setengah dari jarak elektroda AB, jarak elektroda MN secara berurut yakni 1 meter pada pengukuran 1 sampai 5, 5 meter pada pengukuran 6 sampai 10 dan 20 meter pada pengukuran 11 sampai 14 dan jarak elektroda $MN/2 (m)$ adalah setengah dari jarak elektroda MN serta diperoleh data $I(mA)$ dan $V(mV)$ dari alat resistivimeter.

9. Mencabut kabel konektor aki - resistivitimeter (*single channel*) dan 2 buah elektroda arus namun elektroda tegangan tetap kemudian ketitik berikutnya sesuai jarak elektroda yang ditentukan pada tabel pengukuran
10. Mengulangi kembali langkah ke 2 sampai 9 hingga mendapatkan titik berikutnya dan mendapatkan titik terdalam dengan jarak elektroda AB 120 meter dan jarak elektroda MN 20 meter.
11. Melakukan kegiatan yang sama pada titik *sounding* kedua sampai enam.

3.3.1.2 Pengolahan Data dengan software Ms. Office Excel

Adapun pengolahan datanya sebagai berikut:

1. Membuat tabel di Ms. Office Excel untuk titik *sounding* 1 sampai 6
2. Menginput nilai $AB/2$ (m), MN (m), $MN/2$ (m), I (mA), V(mV) dengan software Ms. Office Excel.
3. Menghitung nilai K (m) , R () dan ρ (m) di perangkat lunak Ms. Office Excel pada tabel yang dibuat sebelumnya. Dengan menggunakan persamaan (2.1) untuk menentukan Faktor Geometri (K) dan menggunakan persamaan (2.2) untuk menentukan nilai resistivitas ()

3.3.1.3 Pengolahan Data dengan software IP2Win

1. Membuka perangkat lunak IP2Win, mengcopy – paste data yang ada di MS. Office Excel kedalam kolom tabel IP2Win sesuai dengan kolom masing – masing nilai.

2. Klik make new ves point maka akan muncul lembar baru pengolahan (Lampiran 3).
3. Memilih jenis konfigurasi *schlumberger* lalu klik OK.
4. Mengcopy paste data MN, AB/2 dan dari Ms.Office Exel ke IP2Win sesuai kolom yang ada pada software IP2Win.
5. Klik OK dan menyimpan data maka akan muncul grafik baru pada titik yang akan menunjukkan nilai resistivitas.
6. Mengatur agar nilai persen *error* berkurang namun tidak merubah grafik nilai yang terlalu jauh. Melakukan kegiatan yang sama pada jarak berikutnya.

3.3.2 Tabel Data

3.3.2.1 Tabel 1

Tabel 3.1 Tabel pengambilan data di lapangan

No	AB (m)	AB/2 (m)	MN(m)	MN/2(m)	I(mV)	V(mV)

3.3.2.2 Tabel 2

Tabel 3.2 Tabel pengolahan data dengan Ms. Office Excel

AB/2(m)	MN(m)	K(m)	I(mA)	V(mV)	I(mA)	V(mV)	R()	(m)

Keterangan :

AB = Jarak elektroda arus (m)

$AB/2$ = setengah jarak elektroda arus (m)

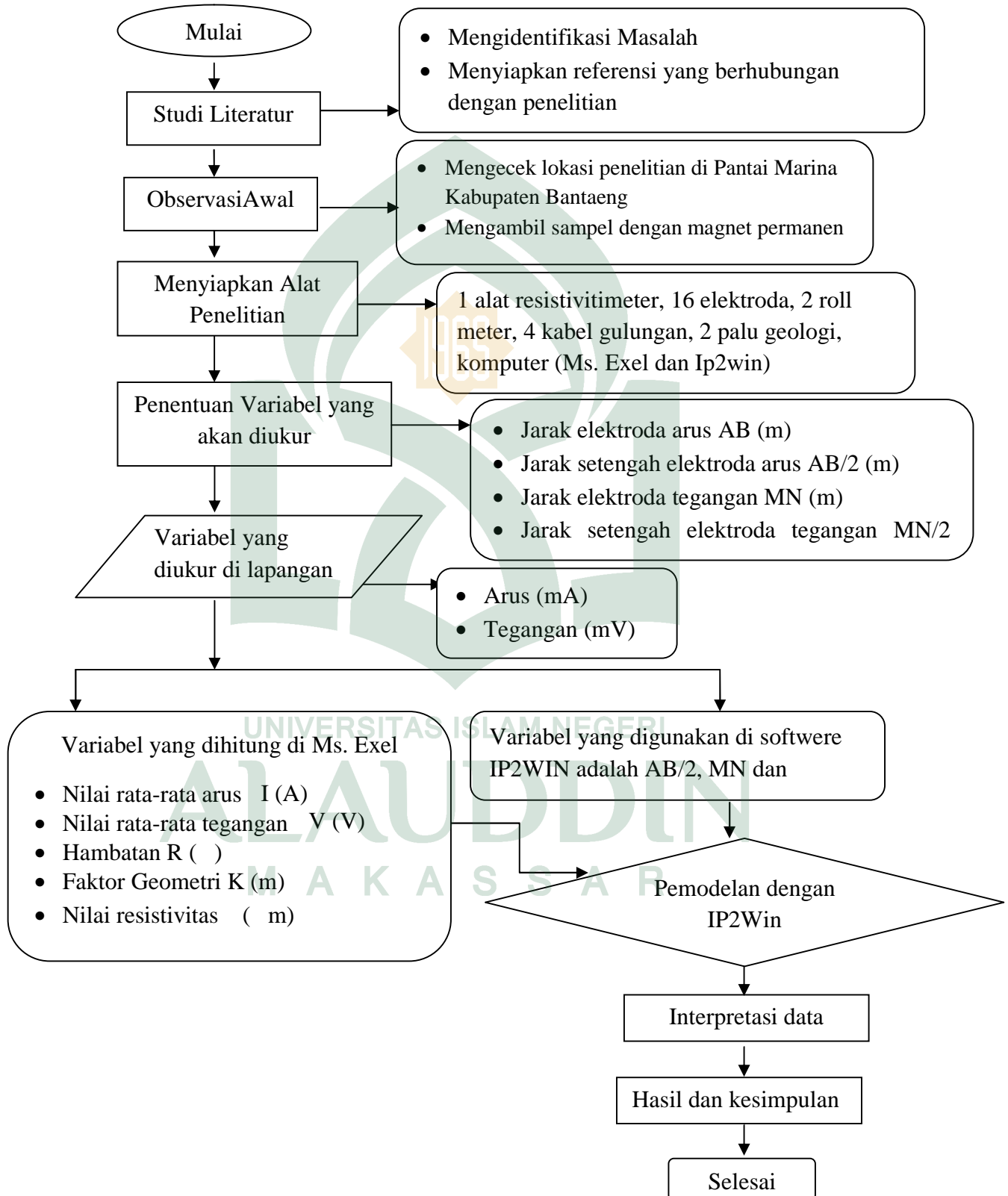
MN	= Jarak elektroda potensial (m)
$MN/2$	= setengah jarak elektroda tegangan (m)
V	= Tegangan (mV)
I	= Arus (mA)
\bar{I}	= Arus rata-rata (mA)
\bar{V}	= Tegangan rata-rata (mV)
R	= Hambatan (Ω)
	= Resistivitas (m Ω)

3.4 Teknik Analisis Data

3.4.1 Pengolahan Data

Data pengamatan yang diperoleh hasil pengukuran adalah untuk data lapangan diperoleh data AB, AB/2, MN, dan MN/2 sehingga data tegangan (V) dan hambatan (I) diperoleh dengan pengambilan 2 data. Data diolah dengan menggunakan data Ms. Office Excel untuk menghitung nilai rata-rata tegangan dan hambatan selanjutnya menghitung nilai faktor geometri (K) dengan menggunakan persamaan (2.1) dan nilai resistivitasnya (ρ) dengan menggunakan persamaan (2.2). Data yang sudah diolah di Ms. Office Excel maka data yang diperoleh diolah menggunakan software IP2WIN dengan memasukkan data pada kolom software yakni nilai AB/2, MN serta nilai untuk memperoleh grafik nilai sensitivitas setiap lapisan lintasan sehingga dapat diperoleh nilai resistivitas setiap lapisan dan mengetahui deposit pasir besi pada kedalaman tertentu.

3.5 Bagan Alir Penelitian



3.5 Jadwal Rencana Kegiatan

Jadwal Pelaksanaan Kegiatan Penelitian adalah sebagai berikut :

Tabel 3.3: Rencana Kegiatan Pelaksanaan Penelitian

No	Uraian Kegiatan	Bulan																											
		Maret				April				Mei				Juni				Juli				Agustus							
		1	2	3	4	1	2	3	4	1	2	3	4	1	2	3	4	1	2	3	4	1	2	3	4				
1.	Studi literature																												
2.	Survei Lapangan																												
3.	Penelitian																												
4.	Akuisi Data																												
5.	Pengolahan dan Interpretasi data																												
6.	Penyajian presentase penelitian																												
6.	Pelaporan																												

BAB IV

HASIL DAN PEMBAHASAN

Penelitian yang dilaksanakan di sepanjang pantai Marina kabupaten Bantaeng, Sulawesi Selatan pada bulan Juni 2016, dengan metode geolistrik resistivitas *sounding* konfigurasi *schlumberger* dengan 6 titik *sounding* dan 2 lintasan serta panjang setiap titik *sounding* 120 meter dengan lintasan sejajar karena topografi lokasi penelitian yang datar karena berada dipesisir pantai dan untuk menggabungkan titik *sounding* semakin dekat dengan titik *sounding* lainnya akan menghasilkan data yang lebih akurat.



Gambar 4.1: Peta lintasan geolistrik lokasi penelitian
(Sumber: Dokumen Pribadi, 2016)

Berdasarkan peta geologi yang berada di lembar Ujung Pandang, Bantaeng, Sinjai Sulawesi dipetakan oleh Rab Sukamto dan Sam Supriatna 1: 250.0000 pada daerah penelitian yang terdapat formasi batuan berupa breksi, lahar dan tufa. Secara umum endapan pasir besi yang berasal dari hasil rombakan batuan gunung api berupa lava, breksi, endapan lahar sisipan tufa yang bersusunan andesitik hingga basaltik dari hasil erupsi Gunung api Lompobatang yang disebut formasi Lompobatang kemudian terbawa oleh aliran Sungai sampai mencapai pantai, kemudian oleh kinerja gelombang laut mineral-mineral yang mengandung besi terakumulasi oleh perbedaan berat jenis, demikian seterusnya hingga mencapai keadaan seperti sekarang ini. Proses pengendapan pasir besi di daerah pantai Marina. Proses perombakan terjadi akibat dari pelapukan batuan yang umumnya terjadi karena proses alam akibat panas dan hujan membuat butiran mineral terlepas dari batuan, dimana untuk endapan pasir besi umumnya terdiri dari mineral-mineral *magnetit*, *ilmenit*, *hematit*, *titanomagnetit* dan mineral lainnya yang secara umum berasal dari batuan gunung api. Media transportasi endapan pasir besi pantai antara lain adalah aliran air sungai dan gelombang arus air laut. Pasir besi merupakan mineral yang berupa pasir yang mengandung mineral bersifat magnet yang dicirikan warna hitam mengkilap dan dapat dimanfaatkan sebagai bahan industri misalnya semen.

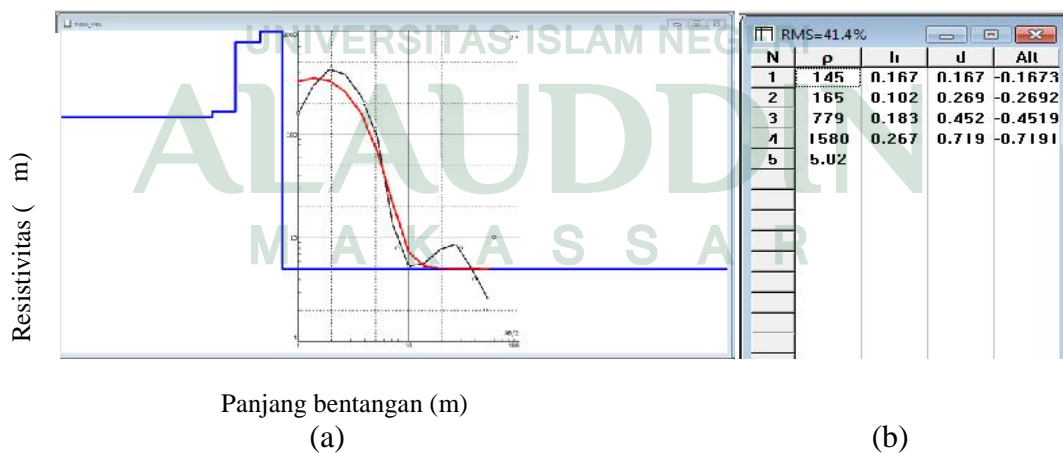
Variabel yang diukur dilapangan berupa arus dan tegangan berdasarkan kondisi dilapangan ditentukan banyaknya titik 6 *sounding* dan 2 lintasan, penentuan lintasan berdasarkan titik *sounding* yang sejajar, dimana lintasan 1 terdiri dari gabungan titik

sounding 1, 2 dan 3 sedangkan lintasan 2 terdiri dari gabungan titik *sounding* 4, 5 dan 6. Data yang diperoleh di lapangan kemudian data akan diolah di Ms. Excel untuk mengetahui nilai faktor geometri menggunakan persamaan (2.1) dan nilai resistivitas menggunakan persamaan (2.2), pengolahan selanjutnya menggunakan software khusus untuk konfigurasi *schlumberger* (*sounding*) yakni software IP2Win untuk mengetahui kedalaman dan ketebalan mineral yang diidentifikasi serta mengetahui persen error data lapangan sesuai dengan keadaan geologi dan sumur gali pada lokasi penelitian. Berikut adalah hasil interpretasi geolistrik resistivitas 1D konfigurasi *schlumberger* untuk titik *sounding* 1 sampai 6:

Interpretasi hasil pengukuran dapat dilakukan dengan melihat berikut setiap pembahasan setiap titik *sounding* pengukuran yaitu sebagai berikut :

1. Titik *Sounding* 1

Hasil pengolahan IP2Win untuk titik *sounding* 1 diperoleh sebagai berikut :



Keterangan Gambar:

— : Kurva data pengukuran

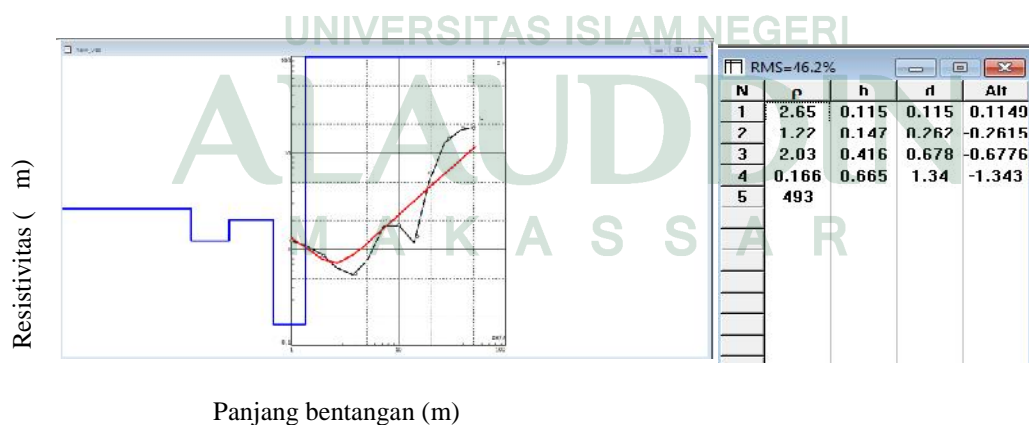
Keterangan simbol :

: Nilai Resistivitas (m)

pasir dimana nilai resistivitas berdasarkan tabel telford yakni $(1-6,4 \times 10^8)$ m. Lapisan kelima dengan resistivitas 5,02 diinterpretasikan sebagai pasir dengan konduktivitas yang tinggi (mengandung banyak air) dimana ketebalan dan kedalaman tak terhingga artinya dikedalaman lebih dari 0,719 meter diprediksi adalah batu pasir ke bawah sampai batas alat ukur mampu mengukur. Kurva titik *sounding* terdiri atas jenis warna yakni garis biru menjelaskan tentang kurva lapisan artinya setiap kelengkungan garis mewakili 1 lapisan, garis hitam kurva data pengukuran artinya kurva sebenarnya tanpa pengaruh lapangan, titik-titik menjelaskan tentang titik pengukuran dilapangan dan garis merah adalah kurva resistivitas artinya kurva yang mewakili hasil pengukuran lapangan jadi semakin berbeda bentuk kurva pengukuran dan kurva resistivitas maka RMS (*Root Mean Square*) semakin tinggi.

2. Titik Sounding 2

Hasil pengolahan IP2Win untuk titik *sounding* 1 diperoleh sebagai berikut :



Gambar 4.3 : (a) Kurva resistivitas batuan terhadap kedalaman di titik *sounding* 2

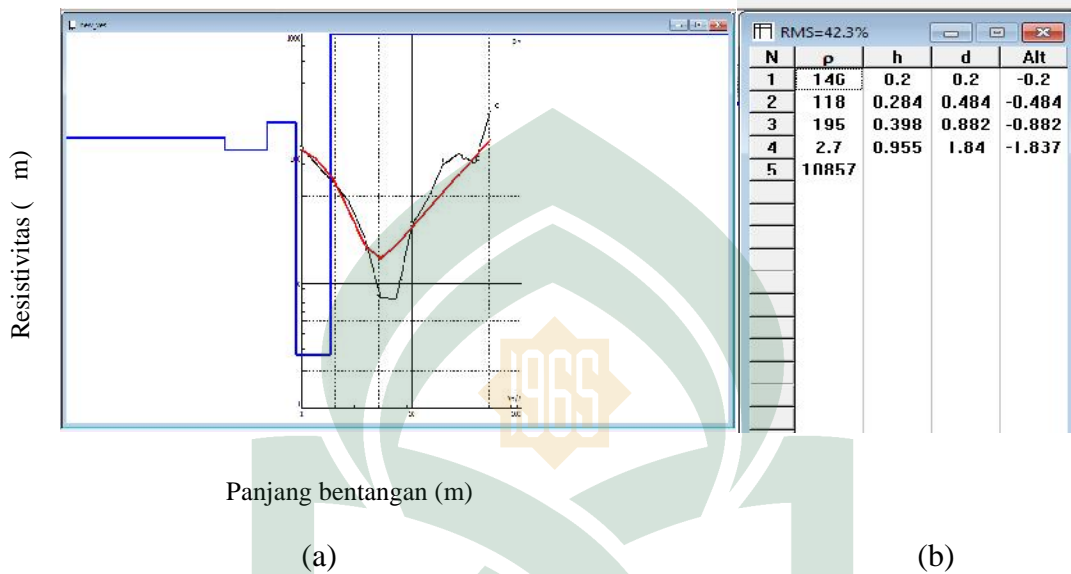
(b) Tabel resistivitas bawah permukaan titik *sounding* 2Tabel 4.8. Informasi perlapisan di titik *sounding* 2

Lapisan	Resistivitas (m)	Ketebalan (m)	Kedalaman (m)	Ket
I	2,65	0,115	0,115	Pasir besi
II	1,22	0,147	0,262	Pasir besi
III	2,03	0,416	0,678	Pasir besi
IV	0,166	0,665	1,34	Pasir besi
V	493			Pasir

Titik *Sounding* 2 titik koordinat S 05° 35' 6,3" E120° 05' 47,5" dengan RMS sebesar 46,2 % dimana persen eror ini menunjukkan ketidaksamaan kurva pengukuran berwarna hitam dan kurva resistivitas yang berwarna merah. Hasil inversi menunjukkan 5 lapisan batuan. Pada lapisan 1 sampai 4 diinterpretasikan sebagai pasir besi secara berurut dengan resistivitas 2,65 m dengan kedalaman 0,115 meter dan ketebalan 0,115 meter, lapisan kedua dengan resistivitas 1,22 m dengan kedalaman 0,262 meter dan ketebalan 0,147 meter, lapisan ke 3 dengan resistivitas 2,03 m dengan kedalaman 0,678 meter dan ketebalan 0,416 meter, lapisan ke 4 dengan resistivitas 0,166 m dengan kedalaman 1,34 meter dan ketebalan 0,665 meter dimana nilai resistivitas pasir besi adalah (0,13-2,87) m, dimana nilai resistivitas pasir besi yang rendah lebih mudah menghantarkan arus. lapisan 5 dengan resistivitas 493 diinterpretasikan pasir dimana nilai resistivitas (1-6,4x10⁸) m berdasarkan tabel telford resistivitas yang tak terhingga ke bawah sampai batas kemampuan ukur alat yakni sedalam 60 meter serta penginjeksian alat 1/3 jarak kedalaman yakni 20 meter.

3. Titik Sounding 3

Hasil pengolahan IP2Win untuk titik *sounding* 1 diperoleh sebagai berikut :



Gambar 4.4 : (a) Kurva resistivitas batuan terhadap kedalaman di titik *sounding* 3

(b) Tabel resistivitas bawah permukaan titik *sounding* 3

Tabel 4.9. Informasi perlapisan di titik *sounding* 3

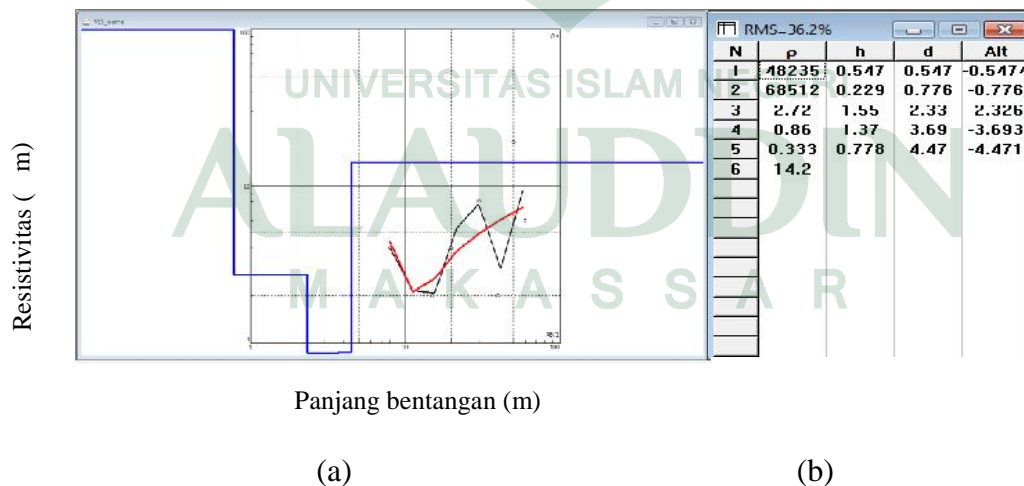
Lapisan	Resistivitas (m)	Ketebalan (m)	Kedalaman (m)	Ket
I	146	0,229	0,229	Pasir
II	118	0,161	0,391	Pasir
III	195	0,221	0,611	Pasir
IV	2,7	0,622	1,23	Pasir besi
V	1085			Batu pasir

Titik *Sounding* 3 dengan titik koordinat S 05° 35' 6,3"E 120° 05' 47,5" dengan RMS sebesar 49,8 % berada di pantai Marina. Hasil inversi menunjukkan 5 lapisan batuan. Pada lapisan 1 sampai 3 diinterpretasikan sebagai lapisan pasir secara berurut dengan resistivitas 146 m dengan kedalaman 0,229 meter dan ketebalan 0,495

meter, lapisan ke 2 dengan resistivitas 118 $\Omega \cdot m$ dengan kedalaman 0,39 meter dan ketebalan 0,161, lapisan ke 3 dengan resistivitas 195 $\Omega \cdot m$ dengan kedalaman 0,611 meter dan ketebalan 0,221 meter, nilai resistivitas pasir berdasarkan tabel telford $1 \times 10^3 \Omega \cdot m$, semakin tinggi nilai resistivitasnya maka batuan dan mineral lebih rendah sifat konduktivitasnya. Lapisan keempat dengan resistivitas 2,7 $\Omega \cdot m$ dengan kedalaman 1,23 meter dan ketebalan 0,622 meter diinterpretasikan sebagai pasir besi dengan nilai resistivitas (0,13-2,87) $\Omega \cdot m$, lapisan ke lima dengan resistivitas 1085 $\Omega \cdot m$ diinterpretasikan sebagai batu pasir yang kemungkinan berpori kecil dimana nilai resistivitas (1- $6,4 \times 10^8$) $\Omega \cdot m$ berdasarkan tabel telford resistivitas dimana ketebalan dan kedalaman yang tak terhingga ke bawah sampai batas kemampuan alat ukur .

4. Titik *Sounding* 4

Hasil pengolahan IP2Win untuk titik *sounding* 1 diperoleh sebagai berikut :



Gambar 4.5 : (a) Kurva resistivitas batuan terhadap kedalaman di titik *sounding* 4

(b) Tabel resistivitas bawah permukaan titik *sounding* 4

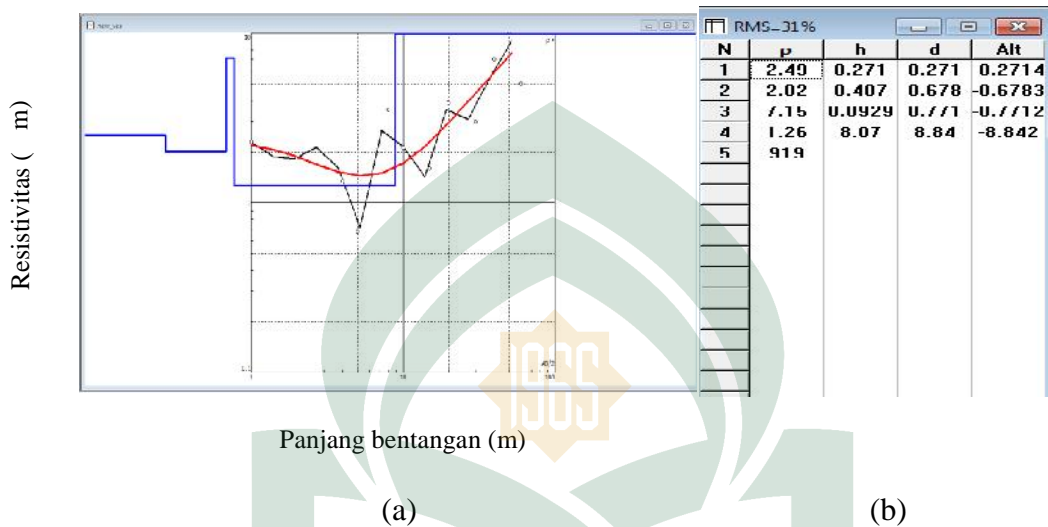
Tabel 4.10. Informasi perlapisan di titik *sounding* 4

Lapisan	Resistivitas (m)	Ketebalan (m)	Kedalaman (m)	Keterangan
I	48235	0,547	0,547	Batu pasir
II	68512	0,229	0,776	Batu pasir
III	2,72	1,55	2,33	Pasir besi
IV	0,86	1,37	3,7	Pasir besi
V	0,333	0,778	4,47	Pasir besi
IV	14,2			Pasir

Titik *Sounding* 4 dengan RMS sebesar 36,2 % berada di pantai Marina. Titik koordinat S 05° 35' 6,62" E 120° 05' 43,4". Hasil inversi menunjukkan 6 lapisan batuan. Pada lapisan 1 sampai 2 diinterpretasikan sebagai lapisan batu pasir dengan resistivitas 48235 m dengan kedalaman 0,547 meter dan ketebalan 0,547 meter. Resistivitas 68512 m dengan kedalaman 0,776 meter dan ketebalan 0,229 meter, dimana nilai resistivitas $1-6,4 \times 10^8$ m yang memenuhi nilai resistivitas sebagai batu pasir, batu pasir yang berada dipermukaan menunjukkan bahwa batuan tersebut belum mengalami pelapukan sehingga ukurannya lebih besar dari lapisan bawahnya. Lapisan 3 sampai 5 diinterpretasi sebagai pasir besi secara berurut, resistivitas 2,72 m dengan kedalaman 1,55 meter dan ketebalan 2,33 meter, resistivitas 0,86 m dengan kedalaman 3,7 meter dan ketebalan 1,37 meter, resistivitas 0,333 m dengan kedalaman 4,47 meter dan ketebalan 0,778 meter. Lapisan ke 6 dengan resistivitas 14,2 m diinterpretasikan pasir hingga kedalaman tak terhingga sampai batas kemampuan alat diinterpretasikan sebagai pasir dengan nilai resistivitas berdasarkan tabel telford (1×10^3) m.

5. Titik Sounding 5

Hasil pengolahan IP2Win untuk titik *sounding* 1 diperoleh sebagai berikut :



Gambar 4.6 : (a) Kurva resistivitas batuan terhadap kedalaman di titik *sounding* 5

(b) Tabel resistivitas bawah permukaan titik *sounding* 5

Tabel 4.11. Informasi perlapisan di titik *sounding* 5

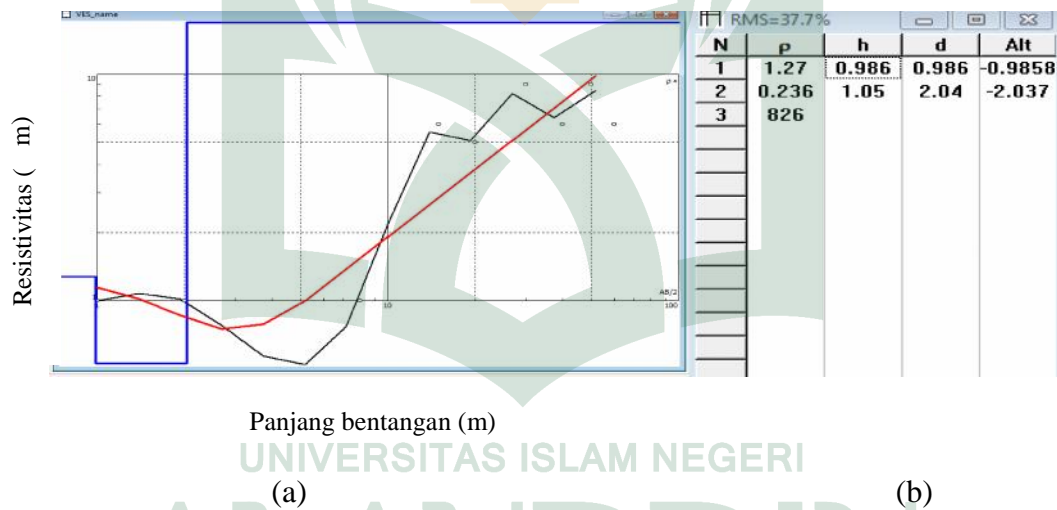
Lapisan	Resistivitas (m)	Ketebalan (m)	Kedalaman (m)	Keterangan
I	2,49	0,271	0,271	Pasir besi
II	2,02	0,407	0,678	Pasir besi
III	7,15	0,0929	0,771	Pasir
IV	1,26	8,07	8,84	Batu pasir
V	919			Batu pasir

Titik *Sounding* 5 dengan titik koordinat S 05° 35' 6,72" E 120° 05' 47,50" dengan RMS sebesar 31 %. Hasil inversi menunjukkan 5 lapisan batuan. Pada lapisan 1 dan 2 diinterpretasikan pasir besi secara berurut, resistivitas 2,49 m dengan kedalaman 0,271 meter dan ketebalan 0,271 meter, dengan resistivitas 2,02 m

dengan kedalaman 0,678 meter dan ketebalan 0,407. Lapisan 3 dengan resistivitas 7,15 m dengan kedalaman 0,771 meter dan ketebalan 0,0929 meter diinterpretasikan sebagai pasir, Lapisan 5 dan 6 dengan resistivitas 1,26 m dengan kedalaman 8,07 meter dan ketebalan 8,84 meter dengan resistivitas 919 m hingga jarak tak terbatas ke bawah sesuai kemampuan pembacaan alat.

6. Titik sounding 6

Hasil pengolahan IP2Win untuk titik *sounding* 1 diperoleh sebagai berikut :



Gambar 4.7 : (a) Kurva resistivitas batuan terhadap kedalaman di titik *sounding* 6

(b) Tabel resistivitas bawah permukaan titik *sounding* 6

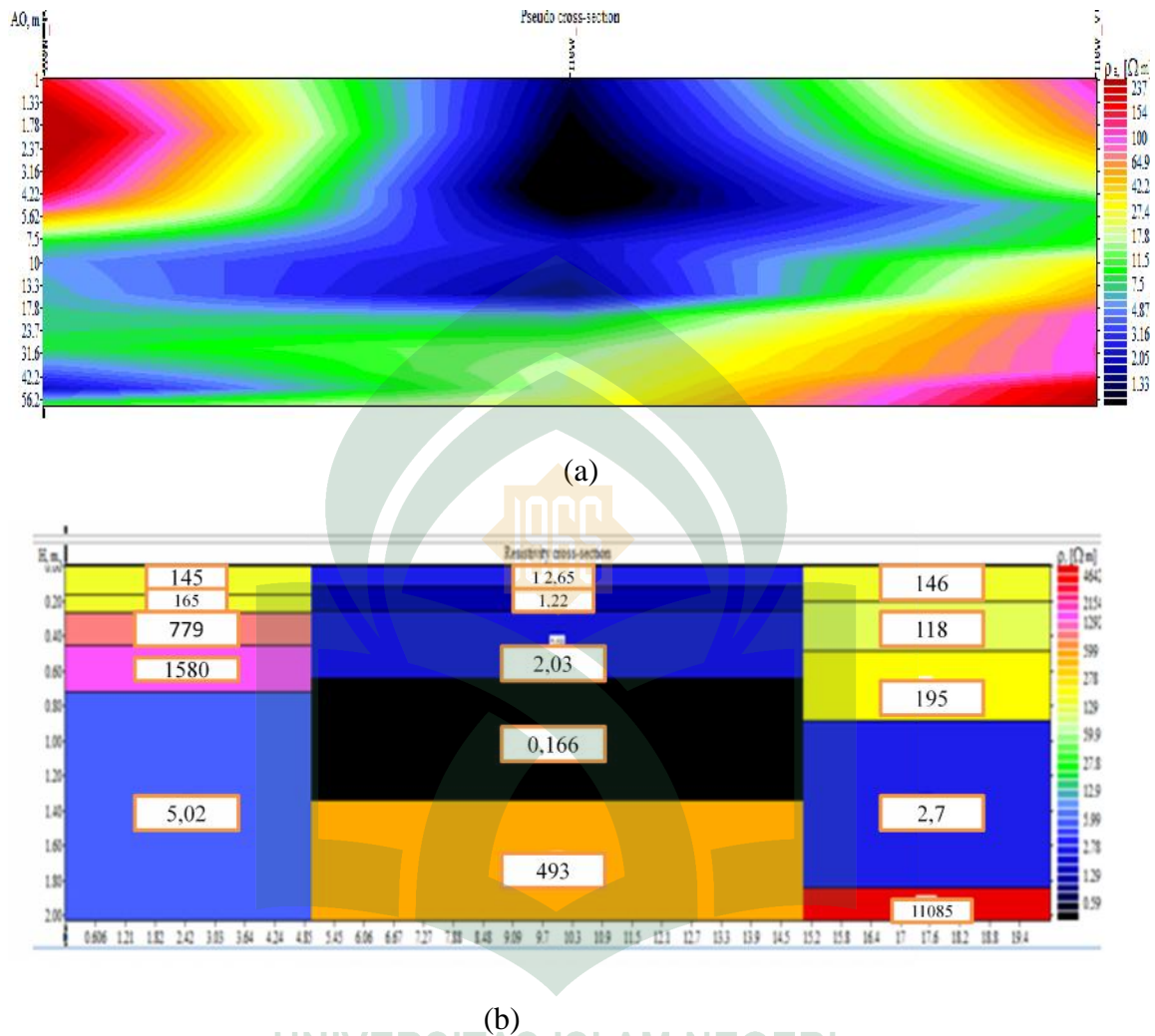
Tabel 4.12. Informasi perlapisan di titik *sounding* 6

Lapisan	Resistivitas (m)	Kedalaman (m)	Ketebalan (m)	Keterangan
I	1,27	0,986	0,986	Pasir besi
II	0,236	1,05	2,037	Pasir besi
III	826			Pasir

Titik *Sounding* 6 dengan RMS sebesar 37,7 %, hasil inversi terdiri dari 3 lapisan batuan dengan titik koordinat S 05° 35' 6,72" E 120° 05' 51,57". Pada lapisan 1 dan 2 diinterpretasikan sebagai pasir besi. Lapisan 1 resistivitas 1,27 m dengan kedalaman 0,986 meter dan ketebalan 0,986 meter. Lapisan kedua dengan resistivitas 0,236 m dengan kedalaman 1,05 meter dan ketebalan 2,037 2,037. Lapisan 3 dengan resistivitas 826 m diinterpretasikan sebagai pasir dengan kedalaman dan ketebalan tak terhingga sampai kemampuan alat untuk membaca arus. pada resistivitas terdapat Kolom Alt adalah altitude atau kedalaman dari elevasi (ketinggian) titik VES (pada contoh diatas, elevasi titik VES adalah 0,986 meter sehingga nilai $Alt = - 0,986$).

Lintasan 1 (gabungan titik *sounding* 1, 2 dan 3)

Pada lintasan 1 menggabungkan 3 titik *sounding* yang saling berjajar yakni titik *sounding* 1, 2 dan 3 sehingga dapat membentuk suatu lintasan yang memiliki titik koordinat yang hampir sama tujuan dilakukan penggabungan titik adalah untuk memunculkan penampangnya sehingga bisa diketahui kedalaman batuan pada 3 titik sekaligus. Hasil pengolahan software IP2Win telah diperoleh penampang semunya dan penampang resistivitas sebagai berikut yang terdiri atas pasir besi, pasir dan batu pasir yang mana batu asal berupa breksi, lahar dan tufa yang banyak terdapat di sekita pantai Marina.



Gambar 4.8 (a) Penampang semu (*pseudo cross section*)

(b) penampang resistivitas (*resistivity cross section*)

Pada penampang resistivitas ini dapat diprediksi beberapa jenis lapisan batuan dari gabungan 3 titik *sounding* pengukuran yaitu sebagai berikut :

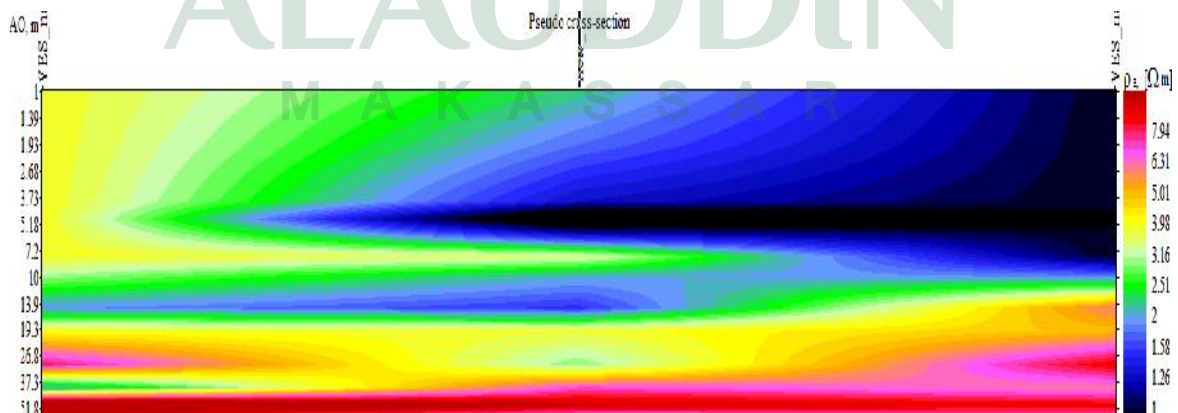
Tabel 4.13. Informasi per lapisan gabungan titik *sounding* 1, 2 dan 3

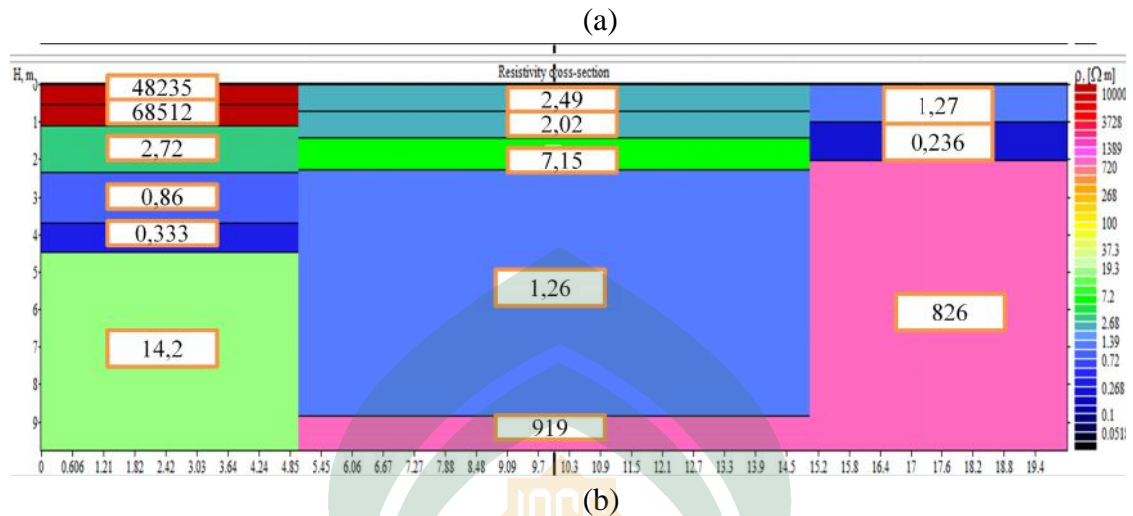
No	Nilai resistivitas (m)	Hasil interpretasi	Keterangan
1	(0,166 -2,7) m	Pasir besi	Titik sounding 2 dan 3
2	(5,02 -779) m	Pasir	Titik sounding 1,2 dan 3
3	(1085 – 1580) m	Batu pasir	Titik sounding 1 dan 3

Untuk nilai resistivitas (0,166 -2,7) m diinterpretasikan sebagai pasir besi dan terdapat pada titik *sounding* 2 dan 3 artinya pada titik *sounding* 1 tidak terdapat Pasir besi, untuk nilai resistivitas (5,02 -779) m diinterpretasikan sebagai pasir yang terdapat di titik 1, 2 dan 3 sedangkan untuk nilai resistivitas (1085 – 1580) m diinterpretasikan sebagai batu pasir pada titik 1 dan 3 tersebut.

Lintasan 2 (gabungan titik sounding 4, 5 dan 6)

Pada lintasan menggabungkan 3 titik sounding yang saling berjajar sehingga dapat membentuk suatu lintasan yang memiliki titik elevasi yang hampir sama. Hasil pengolahan software IP2Win telah diperoleh penampang semunya dan penampang resistivitas sebagai berikut.





Gambar 4.9 (a) Penampang semu (*pseudo cross section*)

(b) penampang resistivitas (*resistivity cross section*)

Pada penampang resistivitas ini dapat diprediksi beberapa jenis lapisan batuan dari gabungan 3 titik saunding pengukuran yaitu sebagai berikut :

Tabel 4.14. Informasi perlapisan gabungan titik *sounding* 4, 5 dan 6

No	Nilai resistivitas (m)	Hasil interpretasi	Keterangan
1	(0,236 -2,49) m	Pasir besi	Titik sounding 4,5 dan 6
2	(7,15 -14,2) m	Pasir	Titik sounding 4,5 dan 6
3	(919 – 68512) m	Batu pasir	Titik sounding 4 dan 5

Liintasan kedua terdiri dari titik sounding 4, 5 dan 6 dimana untuk nilai resistivitas 0,236 m -2,49 m berupa pasir besi pada titik 1, 2 dan 3. Untuk titik sounding 7,15 m -14,2 m merupakan pasir pada titik sounding 1, 2 dan 3 dan untuk nilai resistivitas 919 m – 68512 m berupa batu pasir pada titik 1 dan 2.

BAB V

PENUTUP

A. Kesimpulan

Kesimpulan pada penelitian ini adalah sebagai berikut :

1. Material yang teridentifikasi pada pengukuran dengan metode geolistrik resistivitas *sounding* konfigurasi schlumberger di pantai Marina kabupaten Bantaeng adalah pada lintasan 1 dengan nilai resistivitas (0,166-2,7) m diinterpretasikan pasir besi, (5,02-779) m diinterpretasikan pasir dan (1085-1580) m batu pasir diinterpretasikan batu pasir. pada lintasan 2 dengan nilai resistivitas (0,236-2,49) m pasir besi, (7,15-14,2) m pasir dan (919-68512) m.
2. Kedalaman pasir besi yang teridentifikasi pada dengan metode geolistrik resistivitas *sounding* konfigurasi schlumberger di pantai Marina kabupaten Bantaeng adalah pada titik *sounding* 1 dengan koordinat S 05° 35' 6,3" E 120° 05' 51,6" tidak ada kandungan pasir besi hanya terdapat pasir dan batu pasir, titik *sounding* 2 terdapat pasir besi dikedalaman 0,116 meter- 2,65 meter dengan koordinat S 05° 35' 6,3" E 120° 05' 47,5", titik *sounding* 3 terdapat pasir besi dikedalaman 2,7 meter dengan koordinat S 05° 35' 6,3" E 120° 05' 47,5", titik *sounding* 4 terdapat pasir besi dikedalaman 2,02 meter-2,49 meter dengan koordinat S 05° 35' 6,62" E 120°

05' 43,4", titik *sounding* 5 " terdapat pasir besi dikedalaman 0,236 meter-1,27 meter dengan koordinat S 05° 35' 6,72" E 120° 05' 47,50, titik *sounding* 6 " terdapat pasir besi dikedalaman 0,333 meter-2,72 meter. dengan koordinat S 05° 35' 6,72" E 120° 05' 51,57

B. Saran

Saran yang dapat disampaikan dalam peneitian ini adalah:

1. Untuk penelitian selanjutnya memperbanyak titik-titik pengukuran dan yang dapat melingkupi area pantai Marina, korelasi sumur-sumur uji, kajian kimia, dan informasi lengkap genesa pasir besi.
2. Penelitian ini dapat dijadikan referensi untuk penelitian selanjutnya yaitu jika tujuan penelitian tersebut sampai pada pemetaan sebaran pasir besi dan penampang lintang dua dan tiga dimensi pasir besi di pantai Marina kabupaten Bantaeng.

DAFTAR PUSTAKA

- Angkringan. *Tujuh Lapisan Bumi di dalam Hadist*. 2012
- Departemen Agama. *Alquran dan Terjemahan*. Jakarta; BUMI AKSARA, 2002, h. 1226, 1271.
- Dokumen Pribadi. *Foto pasir besi pada magnet permanen*. Bantaeng; Pantai Seruni, 2015.
- Dr. Zaghlul An-Najjar. 2014. *Buku Ensiklopedia Mukjizat Al-Qur'an dan Hadis dan Buku Pembuktian Sains dalam Sunnah) buku 1* <http://kaheel7.com>
- Eva, Rolia. *Penggunaan Metode Geolistrik Untuk Mendeteksi Keberadaan Air Tanah*. Fakultas Teknik Universitas Muhammadiyah Metro, 2011, h. 8-9
- Hartono, Beta. *Pengolahan pasir besi menjadi besi spon*. <http://www.vedcmalang.com/pppptkboemlg/index.php/menuutama/mesin-cnc/1258-pengolahan-pasir-besi-menjadi-besi-spon>, 2014 h. 2.
- Kurniawan, Edi. *Analisis Resistivitas bawah permukaan bukit samata dengan menggunakan metode geolistrik*. Skripsi. Makassar: Universitas Islam Negeri Alauddin Makassar. 2013, h. 36-37, 43-45.
- Kurniawan, Alva. *Tutorial dasar IP2WIN*. alvathea.wordpress.com.c2009, h. 4.
- Kirsch, Reinhard. *Groundwater Geophysics*. Springer. Germany. 2006, h 85 dan 87
- Lean, Wijaya. *identifikasi pencemaran airtanah dengan metode geolistrik di wilayah ngringo jaten karanganyar*. universitas sebelas maret. Surakarta, 2009, h. 70- 73.
- Luthfi, Ahmad. *Besi dalam darah manusi berasal dari luar angkasa*. <http://techno.okezone.com/read/2013/11/01/56/890422/besi-dalam-darah-manusia-berasal-dari-luar-angkasa>. 2013, hal. 1.
- Pokjaka Bantaeng. *Buku Putih Sanitasi Kabupaten Bantaeng*, 2012, h. 1 dan 2
- RM Hutahaean. *Kemagnetan*. repository.usu.ac.id/bitstream/123456789/41926/4/Chapter%20II.pdf, 2014, h. 1.
- Santoso, Djoko. *Pengantar Teknik Geofisika*. Bandung ITB, h. 111-113.

- Sari, Eka Purwita. *Interpretasi Lapisan Batuan Bawah Permukaan di Sekitar Manifestasi Panas Bumi Parang wedang Kabupaten Bantul Yogyakarta Berdasarkan Pengukuran Geolistrik dengan Metode Resistivitas. Skripsi.* Yogyakarta: Universitas Islam Negeri Sunan Kalijaga Yogyakarta, 2015 hal. 5.
- Shihab, *Quraish. Tafsir Al-Mishbah.* Jakarta: LenteraHati, 2002, h. 451-453.
- Shihab, *Quraish. Tafsir Al-Mishbah.* Jakarta: LenteraHati, 2002, h. 153-154.
- Sultan. Penelitian Geolistrik Resistivity pada Penentuan Titik Sumur Bor untuk Pengairan di Daerah Garongkong Desa Lempang Kecamatan Tanete Riaja Baru. Teknik Geologi: UNHAS, 2009, hal. 152
- Telford W.M., dkk. *Applied Geophysics, Second Edition. England: Cambridge Universit,* 1990, h. 536, 584.
- Tim Direktorat Inventarisasi Sumber daya Mineral. *Pedoman teknis eksplorasi pasir besi.* 2005. Pusat Sumber Daya Geologi, h. 1.
- Wicaksono, Herman Sandy. Analisis Ukuran Partikel Campuran (Pasir Besi, Batubara dan Cao) dan Lama Penyinaran Gelombang Mikro pada Reduksi Besi Oksida. Surabaya. *Teknik Material dan Metalurgi;* Institut Teknologi Sepuluh Nopember Surabaya, 2010, h. 2.
- Wuryantoro. Aplikasi Metode Geolistrik Tahanan Jenis untuk Menentukan Letak dan Kedalaman Aquifer Air Tanah. Semarang. *Skripsi.* Universitas Negeri Semarang, 2007, h.30-32.



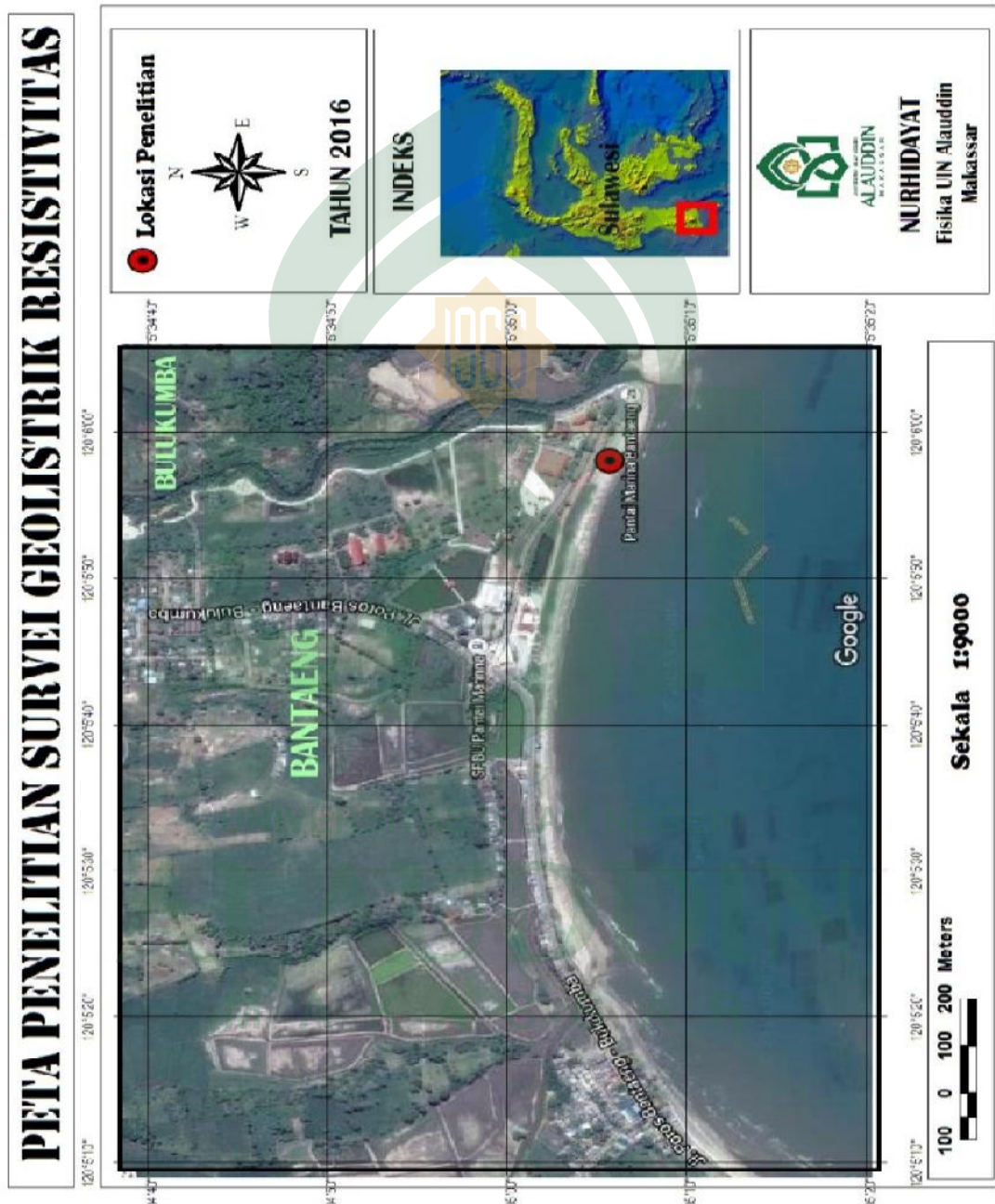
Nurhidayat Lahir pada tanggal 13 April 1994 di Wajo Sulawesi Selatan. Merupakan anak ke 4 dari 4 bersaudara dari pasangan ayahanda H. Tasimung dan ibunda HJ. Hasnawati. pada tahun 1999, penulis menamatkan pendidikan TK dasar di TK PGRI KEERA. Melanjutkan bangku sekolah dasar pada tahun 2000 dan menamatkan pendidikan sekolah dasar di SD 191 Ballere pada tahun 2006. Kemudian melanjutkan pendidikannya di SMP 1 KEERA dan selesai tahun 2009. Kemudian penulis melanjutkan sekolah di SMA Negeri 1 KEERA dan dinyatakan lulus pada tahun 2012. Dan sekarang menempuh pendidikan S1 di Universitas Islam Negeri Alauddin Makassar sebagai mahasiswa jurusan Fisika Fakultas sains dan teknologi .

UNIVERSITAS ISLAM NEGERI
ALAUDDIN
M A K A S S A R



LAMPIRAN 1
PETA LOKASI
DAN PETA
ALAUDDIN
GEOLOG

PETA LOKASI DAN PETA GEOLOGI KABUPATEN BANTAENG
KABUPTEN BANTAENG KECAMATAN PAJUKUKANG PANTAI MARINA



Sumber: Dokumen Pribadi. *Foto peta penelitian survei geolistrik resistivitas.* Gowa; Makassar, 2015.



LAMPIRAN 2
NILAI RESISTIVITAS
DAN MENU IP2Win

UNIVERSITAS ISLAM NEGERI
ALAUDDIN
M A K A S S A R

**DAFTAR RESISTIVITAS (TAHANAN JENIS) PADA BERBAGAI BATUAN
DAN MINERAL**

Material Resistivity	Resistivitas (Ohm-Meter)
<i>Bismuthinite</i> (Bismut)	18-570
<i>Covellite</i>	3×10^{-7} - 8×10^{-5}
<i>Chalcopyrite</i> (Kalkopirit)	1.2×10^{-5} -0,3
<i>Chalcocite</i> (Kalkosit)	3×10^{-5} -0,6
<i>Bornite</i> (Bornit)	$2,5 \times 10^{-5}$ -0,5
<i>Pyrite</i> (Pirit)	$2,9 \times 10^{-5}$ -1,5
<i>Pyrrhotite</i> (Pirhotit)	$6,5 \times 10^{-6}$ - 5×10^{-2}
<i>Molybdenite</i> (Molibdenit)	10^{-3} - 10^6
<i>Galena</i> (Galena)	3×10^{-5} - 3×10^2
<i>Stannite</i>	10^{-3} - 10^6
<i>Stibnite</i> (Stibnit)	10^5 - 10^{12}
<i>Sphalerite</i> (Sfalerit)	$1,5 \cdot 10^7$
<i>Cobaltite</i> (Kobal)	$3,5 \times 10^{-4}$ - 10^{-1}
<i>Arsenopyrite</i> (Arsenopirit)	2×10^{-4} - 10^{-1}
<i>Niccolite</i> (Niccolite)	10^{-7} - 2×10^{-3}
<i>Bauxite</i> (Bauksit)	2×10^2 - 6×10^{-3}
<i>Cuprite</i> (Cuprite)	10^{-3} -300
<i>Chromite</i> (Kromit)	$1 \cdot 10^6$
<i>Hematite</i> (Bijih besi)	$3,5 \times 10^{-3}$ - 10^7
<i>Limonite</i> (Limonit)	10^3 - 10^7
<i>Magnetite</i> (Magnetite)	5×10^{-5} - $5,7 \times 10^3$
<i>Ilmenit</i> (Ilmenit)	10^{-3} -50
<i>Wolframite</i> (Wolframite)	10 - 10^5
<i>Pyrolusite</i> (Pyrolusite)	5×10^{-3} -10

<i>Quartz</i> (Quartz)	$4 \times 10^{10} - 2 \times 10^{14}$
<i>Cassirite</i> (Cassirite)	$4 \times 10^{-4} - 10^4$
<i>Rutile</i> (Rutil)	30-1000
<i>Uraninite</i> (Uraninit)	1-200
<i>Rock salt</i> (Garam kasar)	$30 - 10^{13}$
<i>Sylvite</i> (Silvit)	$10^{11} - 10^{12}$
<i>Diamond</i> (Berlian)	$10 - 10^{14}$
<i>Serpentine</i>	$2 \times 10^2 - 3 \times 10^3$
<i>Hornblende</i> (Hornblende)	$2 \times 10^2 - 10^6$
<i>Mica</i> (Mika)	$9 \times 10^2 - 10^{14}$
<i>Biotite</i> (Biotit)	$2 \times 10^2 - 10^6$
<i>Bitum coal</i> (Batubara Bitum)	$0,6 \times 10^5$
<i>Anthracite</i> (Antrasit)	9-200
<i>Lignite</i> (Batu bara muda)	$30 - 10^3$
<i>Air tanah</i>	0,5-300
<i>Pasir</i>	$1 - 10^3$
<i>Batu pasir</i>	$1 - 6,4 \times 10^8$
<i>Tufa</i>	20-100
Pasir besi	0,13-2,87
Breaksi	75-200

(Sumber : Telford dkk, 1990: 285)

1. File

Open : untuk membuka *file* yang tersimpan

Save : untuk menyimpan data dan *file* dalam lokasi yang sama

Save as : untuk menyimpan data dan hasil dengan nama dan lokasi lain

Info : untuk menampilkan jendela informasi

Print section : untuk mencetak penampang lintang

Print curves : untuk mencetak kurva dan tabel

Print setup : untuk menunjukkan jendela print setup untuk mengubah printer dan *layout* halaman

Exit : untuk keluar IPI2Win

2. Edit (mengedit data)

Undo : untuk membatalkan perintah terakhir

Restore : untuk membatalkan model untuk titik *sounding*

Copy : untuk menyimpan properti model langsung dan *image bitmap* langsung di *clipboard*

Cut model : untuk menghapus model dan menyimpan pada *clipboard*

Paste model : untuk menampilkan model yang tersimpan pada *clipboard*

Copy curve : untuk menyimpan kurva teoritik di *clipboard*

Edit file : untuk menjalankan *notepad* dan membuka data *file*

Copy all model : untuk menyimpan properti model untuk semua titik *sounding* di *clipboard*, *item* yang tersimpan dapat di-*paste* ke *spreadsheet* atau *word prosessor*

Copy app resist.: untuk menyimpan *image bitmap* penampang melintang (*pseudo cross section*) di *clipboard*

Synthetic curve : untuk memindahkan kurva *sounding* pada titik *sounding* dengan teoritical kurva untuk model dengan *property* langsung

3. Point

- Next* : untuk menampilkan kurva *sounding* dengan properti model untuk titik *sounding* berikutnya pada data *file*
- Previous* : untuk menampilkan kurva *sounding* dan properti model untuk titik *sounding* sebelumnya pada data *file*
- First* : untuk menampilkan kurva *sounding* dan properti *sounding* untuk titik *sounding* yang pertama
- Last* : untuk menampilkan kurva *sounding* dan properti *sounding* untuk titik *sounding* yang terakhir
- Inversion* : untuk melaksanakan interpretasi otomatis untuk kurva *sounding* dengan menggunakan parameter model dengan model awal
- New model* : untuk melaksanakan interpretasi otomatis untuk kurva *sounding* menggunakan prinsip lapisan terkecil
- Option* : untuk menunjukkan jendela option untuk me-ge-set pencocokan yang akurat menggunakan prinsip lapisan terkecil.
- Edit curve* : untuk menampilkan jendela edit kurva untuk data manual

4. Model

- Fixing* : untuk membetulkan parameter model untuk interpretasi otomatis lebih lanjut
- Split* : untuk memisah lapis menjadi 2 dengan parameter pada lapisan awal
- Join* : untuk menggabung lapisan dengan satu di bawah nya

5. Section

- Zoom in* : untuk menaikkan skala horizontal
- Zoom out* : untuk menurunkan skala horizontal

- All profile* : untuk menampilkan profile dalam jendela *cross-section*
- More dept* : untuk menurunkan skala vertical
- Less depth* : untuk menurunkan skala vertical
- Option* : untuk menampilkan jendela *section option*
- Pseudo section* : untuk menampilkan *pseudosection* pada jendela *cross section*
- Resistivitas section* : untuk menampilkan resistivitas *cross section* .
- Both section* : untuk menampilkan kedua resistivitas semu dan resistivitas tampang lintang
- Horizontal mirror* : untuk membalikkan urutan titik sounding dalam jendela *cross section*

6. Options

Menampilkan jendela options IPI2Win


7. Windows

Cascade : menyusun kebawah jendela yang terbuka pada jendela standar.

Tile : menyusun seperti ubin jendela yang terbuka

Help : Menampilkan isi jendela *help*

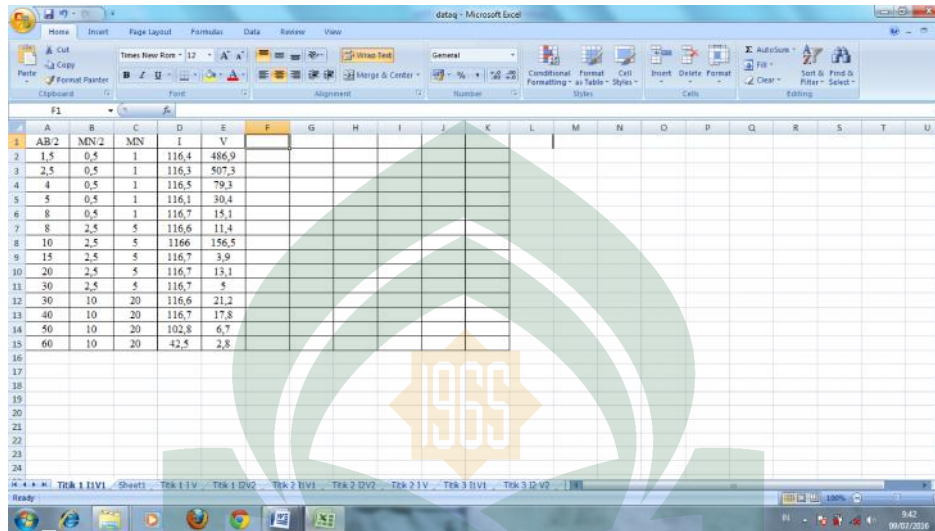
(Lean, 2009: 71-73).



LAMPIRAN 3
PENGOLAHAN
DATA

UNIVERSITAS ISLAM NEGERI
ALAUDDIN
M A K A S S A R


1. Memasukkan nilai AB/2, MN/2, MN, I dan V yang diperoleh dilampiran



	AB/2	MN/2	MN	I	V
1	1,5	0,5	1	116,4	486,9
2	2,5	0,5	1	116,3	507,3
3	4	0,5	1	116,5	79,3
4	5	0,5	1	116,1	30,4
5	8	0,5	1	116,7	15,1
6	8	2,5	5	116,6	11,4
7	10	2,5	5	116,6	156,5
8	15	2,5	5	116,7	3,9
9	20	2,5	5	116,7	13,1
10	30	2,5	5	116,7	5
11	30	10	20	116,6	21,2
12	40	10	20	116,7	17,8
13	50	10	20	102,8	6,7
14	60	10	20	42,5	2,8

2. Menghitung nilai hambatan (R) setiap data dengan menggunakan rumus

$$R = \frac{V}{I} \text{ dengan formula } V/I$$



	AB/2	MN/2	MN	I	V	R(V/I)
1	1,5	0,5	1	116,4	486,9	4,18259
2	2,5	0,5	1	116,3	507,3	4,361995
3	4	0,5	1	116,5	79,3	0,680697
4	5	0,5	1	116,1	30,4	0,261848
5	8	0,5	1	116,7	15,1	0,129792
6	8	2,5	5	116,6	11,4	0,097777
7	10	2,5	5	116,6	156,5	0,13422
8	15	2,5	5	116,7	3,9	0,033419
9	20	2,5	5	116,7	13,1	0,112254
10	30	2,5	5	116,7	5	0,042845
11	30	10	20	116,6	21,2	0,181818
12	40	10	20	116,7	17,8	0,152528
13	50	10	20	102,8	6,7	0,065175
14	60	10	20	42,5	2,8	0,065882

3. Menghitung nilai $(AB/2)^2$ dengan formula $AB/2^2$

	AB/2	MN/2	MN	I	V	R/V(I)	AB/2-2
1	1,5	0,5	1	116,4	486,9	4,18299	2,25
2	2,5	0,5	1	116,3	507,3	4,36195	6,25
3	4	0,5	1	116,5	79,3	0,68067	16
4	5	0,5	1	116,1	30,4	0,261843	25
5	8	0,5	1	116,7	15,1	0,129392	64
6	8	2,5	5	116,6	11,4	0,09777	64
7	10	2,5	5	116,6	156,5	0,13422	100
8	15	2,5	5	116,7	3,9	0,033419	225
9	20	2,5	5	116,7	13,1	0,112254	400
10	30	2,5	5	116,7	5	0,042845	900
11	30	10	20	116,6	21,2	0,181818	900
12	40	10	20	116,7	17,8	0,152528	1600
13	50	10	20	102,8	6,7	0,065175	2500
14	60	10	20	42,5	2,8	0,005882	3600

4. Menghitung nilai $(MN/2)^2$ dengan formula $MN/2^2$

	AB/2	MN/2	MN	I	V	R/V(I)	AB/2-2	MN/2^2
1	1,5	0,5	1	116,4	486,9	4,18299	2,25	0,25
2	2,5	0,5	1	116,3	507,3	4,36195	6,25	0,25
3	4	0,5	1	116,5	79,3	0,68067	16	0,25
4	5	0,5	1	116,1	30,4	0,261843	25	0,25
5	8	0,5	1	116,7	15,1	0,129392	64	0,25
6	8	2,5	5	116,6	11,4	0,09777	64	6,25
7	10	2,5	5	116,6	156,5	0,13422	100	6,25
8	15	2,5	5	116,7	3,9	0,033419	225	6,25
9	20	2,5	5	116,7	13,1	0,112254	400	6,25
10	30	2,5	5	116,7	5	0,042845	900	6,25
11	30	10	20	116,6	21,2	0,181818	900	100
12	40	10	20	116,7	17,8	0,152528	1600	100
13	50	10	20	102,8	6,7	0,065175	2500	100
14	60	10	20	42,5	2,8	0,005882	3600	100

5. Menghitung nilai $2x MN/2$ dengan formula excel $2*MN/2$

	AB/2	MN/2	MN	I	V	R/V(I)	AB/2-2	MN/2^2	2*MN/2
1	1,5	0,5	1	116,4	486,9	4,18299	2,25	0,25	1
2	2,5	0,5	1	116,3	507,3	4,36195	6,25	0,25	1
3	4	0,5	1	116,5	79,3	0,68067	16	0,25	1
4	5	0,5	1	116,1	30,4	0,261843	25	0,25	1
5	8	0,5	1	116,7	15,1	0,129392	64	0,25	1
6	8	2,5	5	116,6	11,4	0,09777	64	6,25	5
7	10	2,5	5	116,6	156,5	0,13422	100	6,25	5
8	15	2,5	5	116,7	3,9	0,033419	225	6,25	5
9	20	2,5	5	116,7	13,1	0,112254	400	6,25	5
10	30	2,5	5	116,7	5	0,042845	900	6,25	5
11	30	10	20	116,6	21,2	0,181818	900	100	20
12	40	10	20	116,7	17,8	0,152528	1600	100	20
13	50	10	20	102,8	6,7	0,065175	2500	100	20
14	60	10	20	42,5	2,8	0,005882	3600	100	20

6. Menghitung nilai faktor geometri (K) dengan rumus

$$K = \pi \frac{\left[\left(\frac{AB}{2} \right)^2 - \left(\frac{MN}{2} \right)^2 \right]}{2 \left(\frac{MN}{2} \right)} \quad \text{dan formula} = 3,14 * (AB/2^2 - MN/2^2) / MN/2$$

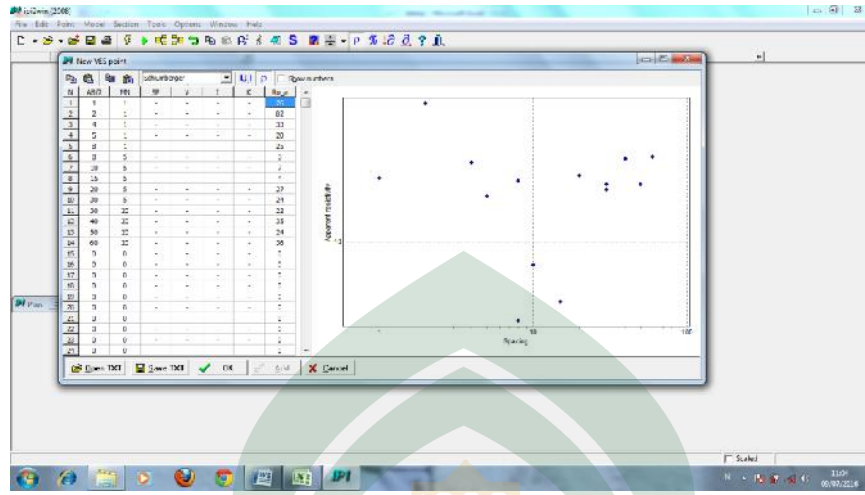
	A	B	C	D	E	F	G	H	I	J	K	L	M	N	O	P	Q	R	S	T	U
1	AB/2	MN/2	MN	I	V	R(V/I)	AB/2^2	MN/2^2	2*MN/2	K											
2	1,5	0,5	1	116,4	486,9	4,18299	2,25	0,25	1	6,28											
3	2,5	0,5	1	116,3	507,3	4,361995	6,25	0,25	1	18,84											
4	4	0,5	1	116,5	79,3	0,680087	16	0,25	1	49,435											
5	5	0,5	1	116,1	30,4	0,261848	25	0,25	1	77,715											
6	8	0,5	1	116,7	15,1	0,129992	64	0,25	1	200,175											
7	8	2,5	5	116,6	11,4	0,097777	64	0,25	5	36,897											
8	10	2,5	5	116,6	156,5	0,13422	100	0,25	5	58,875											
9	15	2,5	5	116,7	3,9	0,033419	225	0,25	5	137,375											
10	20	2,5	5	116,7	13,1	0,112294	400	0,25	5	247,275											
11	30	2,5	5	116,7	5	0,042845	900	0,25	5	561,275											
12	30	10	20	116,6	21,2	0,181818	900	100	20	125,6											
13	40	10	20	116,7	17,8	0,152528	1600	100	20	235,5											
14	50	10	20	102,8	6,7	0,065175	2500	100	20	376,8											
15	60	10	20	42,5	2,8	0,065882	3600	100	20	549,5											

7. Menghitung nilai resistivitas () dengan persamaan

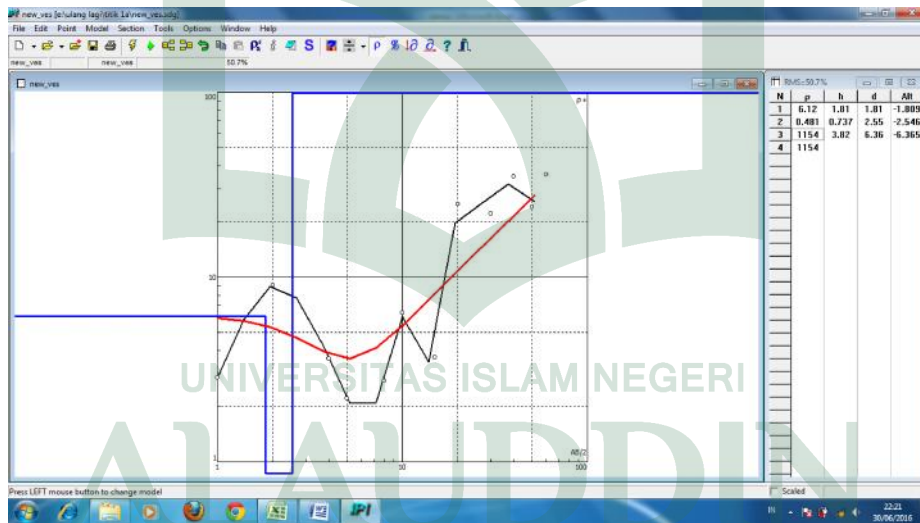
$$= K \frac{\Delta V}{I} \quad \text{dan formula} \quad K * R$$

	A	B	C	D	E	F	G	H	I	J	K	L	M	N	O	P	Q	R	S	T	U
1	AB/2	MN/2	MN	I	V	R(V/I)	AB/2^2	MN/2^2	2*MN/2	K	RHO										
2	1,5	0,5	1	116,4	486,9	4,18299	2,25	0,25	1	6,28	26,26918										
3	2,5	0,5	1	116,3	507,3	4,361995	6,25	0,25	1	18,84	82,17984										
4	4	0,5	1	116,5	79,3	0,680087	16	0,25	1	49,435	21,66336										
5	5	0,5	1	116,1	30,4	0,261848	25	0,25	1	77,715	20,34915										
6	8	0,5	1	116,7	15,1	0,129992	64	0,25	1	200,175	25,90996										
7	8	2,5	5	116,6	11,4	0,097777	64	0,25	5	36,767	1,54881										
8	10	2,5	5	116,6	156,5	0,13422	100	0,25	5	58,875	7,982176										
9	15	2,5	5	116,7	3,9	0,033419	225	0,25	5	137,375	1,909938										
10	20	2,5	5	116,7	13,1	0,112294	400	0,25	5	247,275	27,75752										
11	30	2,5	5	116,7	5	0,042845	900	0,25	5	561,275	28,04777										
12	30	10	20	116,6	21,2	0,181818	900	100	20	125,6	22,83636										
13	40	10	20	116,7	17,8	0,152528	1600	100	20	235,5	35,92031										
14	50	10	20	102,8	6,7	0,065175	2500	100	20	376,8	24,55798										
15	60	10	20	42,5	2,8	0,065882	3600	100	20	549,5	36,20235										

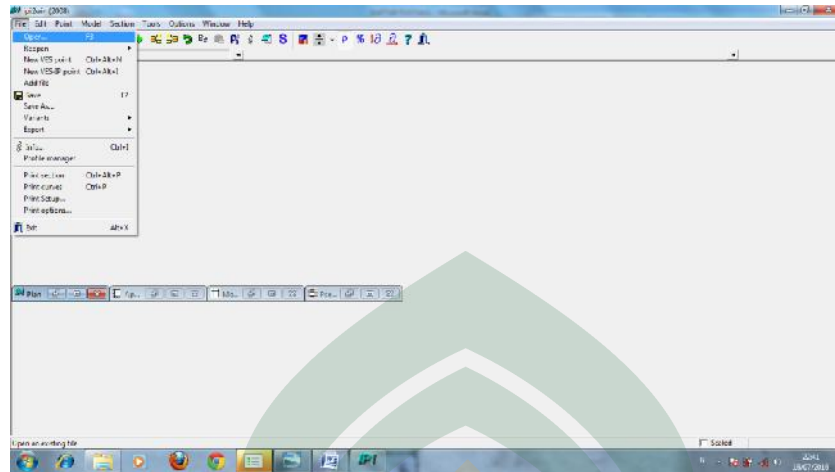
8. Pengolahan IP2WIN memasukkan nilai AB/2, MN dan kemudian klik ok dan data akan ter save dan akan memunculkan grafik kedalaman mineral.



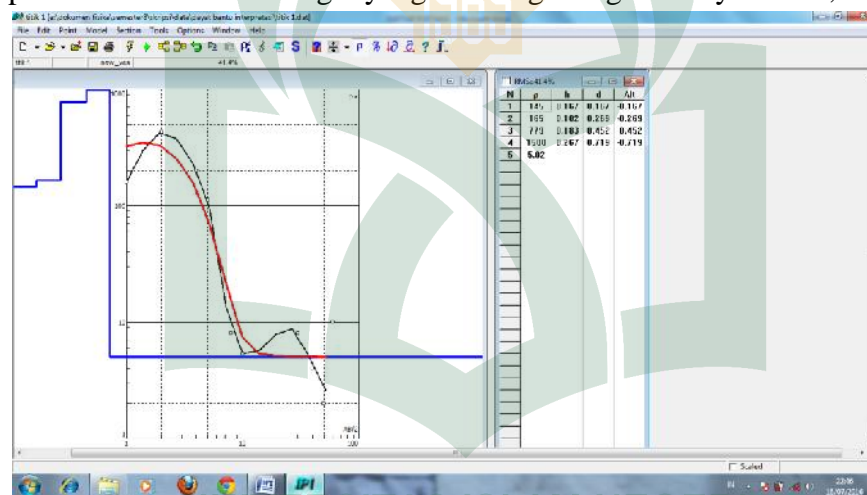
9. Setelah tersimpan maka memunculkan grafik dan mengatur kurva agar mendekati kurva lapangan.



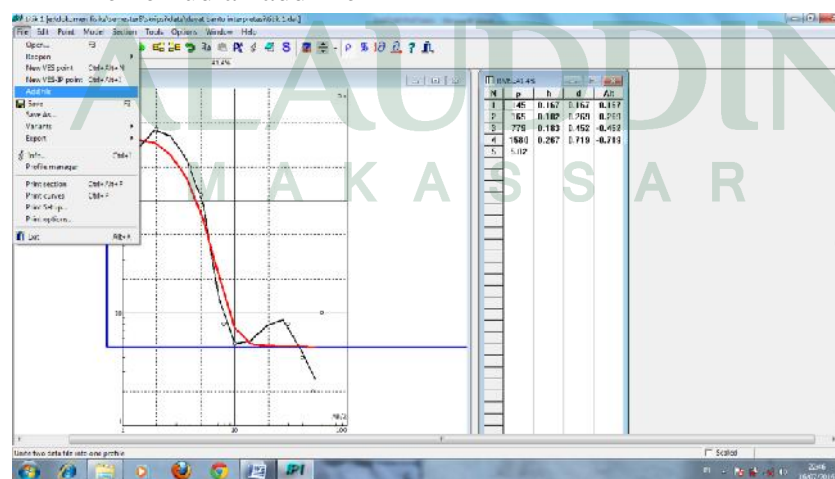
10. Setelah diperoleh kurva selanjutnya membuat penampang semu dan penampang resistivitas dengan membuka software IP2WIN dan pilih file kemudian open



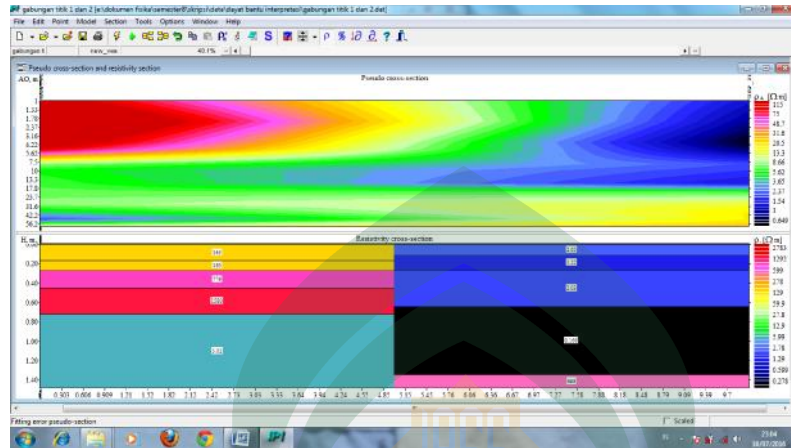
11. pilih kurva titik sounding 1 yang akan digabung misalnya titik 1, 2 dan 3.



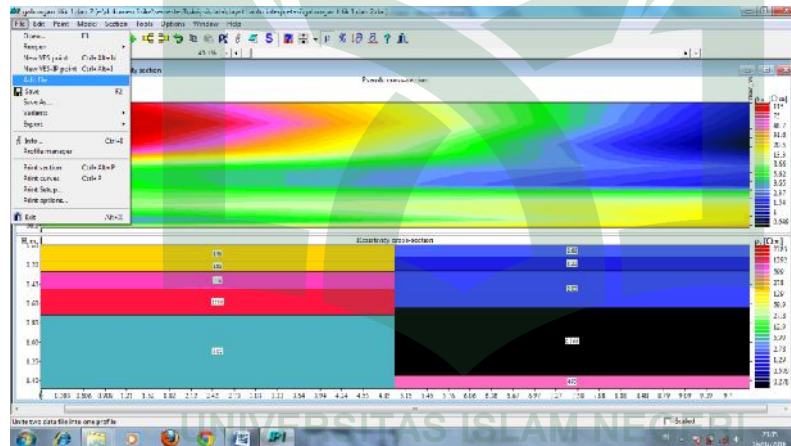
12. Pilih file kemudian add file



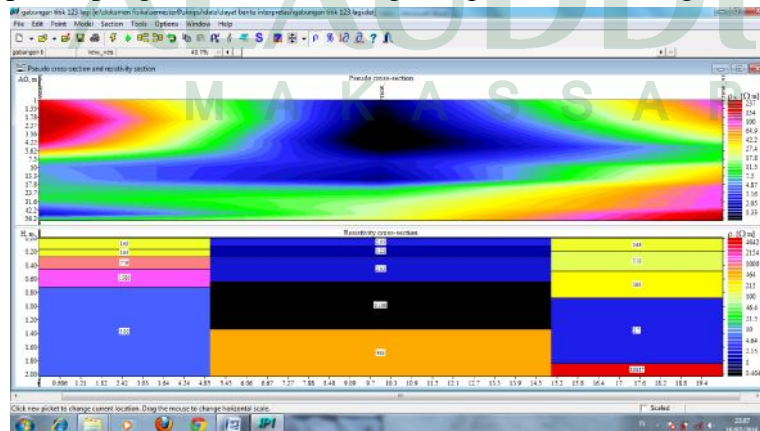
13. Klik kurva titik sounding 2 maka akan muncul penampang semu dan penampang resistivitas yaitu gabungan antara titik sounding 1 dan 2




14. Pilih file kemudian add file untuk memilih titik sounding ke 3



15. Memilih titik sounding ke 3 sehingga muncul penampang semu dan penampang resistivitas untuk gabungan titik sounding 1, 2 dan 3





LAMPIRAN 4
HASIL PENGOLAHAN
DATA

UNIVERSITAS ISLAM NEGERI
ALAUDDIN
M A K A S S A R

1. Titik sounding 1

Lintasan : 120 meter Titik Koordinat : S 05° 35' 6,3"
E 120° 05' 51,6"

Tanggal : 2 Juni 2016 Kondisi Permukaan : Datar
Jam : 16: 15 WITA Lokasi : 1
Cuaca : Cerah Pencatat : Nurhidayat
Operator alat : Asraf Operator elektroda : Dayat
Sudar Iqbal

Tabel 4.1 Data pengukuran geolistrik resistivitas 1D konfigurasi schlumberger lintasan 1

AB (m)	AB/2 (m)	MN/2 (m)	MN (m)	I (mA)	V(mV)	R ()	K (m)	RHO (m)
3	1,5	0,5	1	116,5	386,6	3,318455	6,28	20,8399
5	2,5	0,5	1	116,3	338,8	2,913156	18,84	54,88385
8	4	0,5	1	116,5	61	0,523605	49,455	25,89489
10	5	0,5	1	116,2	21,8	0,187608	77,715	14,57992
16	8	0,5	1	116,7	1,1	0,009426	200,175	1,886825
16	8	2,5	5	116,7	12,5	0,107112	36,267	3,88464
20	10	2,5	5	116,7	4,1	0,035133	58,875	2,068445
30	15	2,5	5	116,7	0,7	0,005998	137,375	0,824015
40	20	2,5	5	116,7	0,3	0,002571	247,275	0,635668
60	30	2,5	5	116,7	0,7	0,005998	561,275	3,366688
60	30	10	20	116,7	8,2	0,070266	125,6	8,825364
80	40	10	20	116,8	2,3	0,019692	235,5	4,637414
100	50	10	20	100,4	0,6	0,005976	376,8	2,251793
120	60	10	20	41,8	0,8	0,019139	549,5	10,51675

AB = Jarak elektroda arus (m)

I = Arus (mA)

$AB/2$ = setengah jarak elektroda arus (m)

I = Arus rata-rata (mA)



LAMPIRAN 5

DOKUMENTASI

UNIVERSITAS ISLAM NEGERI

ALAUDDIN

MAKASSAR

SURVEY LOKASI

Menempelkan magnet pada pasir



Pasir yang menempel adalah pasir besi



Ciri pasir yang hitam mengkilap



Batu pasir yang belum terkikis



Tim pasir besi untuk melaksanakan survey lokasi



SUMUR UJI LOKASI PENELITIAN

Pasir hitam adalah pasi besi



Pasir dikedalaman 2 meter



Pasir dikedalaman 1,5 meter



Pasir dikedalaman 1 meter



Sampel dikedalaman 1,5 meter



Proses penggalian sumur uji



FOTO ALAT PENELITIAN

1 Unit Resistivimeter (single chanel)



16 buah elektroda



5 Buah kabel gulungan



2 roll meteran



2 Buah palu geologi



Beberapa kabel penghubung



Laptop dan alat tuli



GPS (Global Positioning System)



DOKUMENTASI PERSIAPAN ALAT DAN PENGUKURAN LINTASAN

Pengukuran lintasan



Penancapan elektroda dengan palu



Menghubungkan kabel dengan alat resistivimeter dan elektroda



Pengukuran lintasan berikutnya, melakukan pengukuran lintasan yang sama



DOKUMENTASI PENGAMBILAN DATA

Penginjeksian dan mencatat nilai yang terbaca pada alat



Penginjeksian pada titik *sounding* berikutnya



Tim pelaksanaan penelitian



PENGOLAHAN DATA

Mengimput variabel yang diukur di lapangan ke software Ms. Exel untuk menghitung nilai Faktor geometri (K) dengan persamaan (2.1) dan Resistivitas () dengan persamaan (2.2)



Mengimput nilai $AB/2$, MN dan ρ dari Ms.Exel ke IP2Win



Proses pemodelan lintasan dengan menggunakan IP2Win untuk mengetahui penampang semu dan resistivitasnya





LAMPIRAN 6

UNIVERSITAS ISLAM NEGERI
SURAT
ALAUDDIN
M A K A S S A R



UNIVERSITAS ISLAM NEGERI
ALAUDDIN
M A K A S S A R